Universidade Federal do Paraná



Extensões e Aplicações Modelo de Regressão Conway-Maxwell-Poisson para Modelagem de Dados de Contagem

Curitiba

Eduardo Elias Ribeiro Junior

Extensões e Aplicações Modelo de Regressão Conway-Maxwell-Poisson para Modelagem de Dados de Contagem

Trabalho de Conclusão de Curso apresentado à disciplina Laboratório B do Curso de Graduação em Estatística da Universidade Federal do Paraná, como exigência parcial para obtenção do grau de Bacharel em Estatística.

Universidade Federal do Paraná
Setor de Ciências Exatas
Departamento de Estatística

Orientador: Prof. Dr. Walmes Marques Zeviani

Curitiba 2016

Agradecimentos

Lorem ipsum dolor sit amet, consectetuer adipiscing elit. Ut purus elit, vestibulum ut, placerat ac, adipiscing vitae, felis. Curabitur dictum gravida mauris. Nam arcu libero, nonummy eget, consectetuer id, vulputate a, magna. Donec vehicula augue eu neque. Pellentesque habitant morbi tristique senectus et netus et malesuada fames ac turpis egestas. Mauris ut leo. Cras viverra metus rhoncus sem. Nulla et lectus vestibulum urna fringilla ultrices. Phasellus eu tellus sit amet tortor gravida placerat. Integer sapien est, iaculis in, pretium quis, viverra ac, nunc. Praesent eget sem vel leo ultrices bibendum. Aenean faucibus. Morbi dolor nulla, malesuada eu, pulvinar at, mollis ac, nulla. Curabitur auctor semper nulla. Donec varius orci eget risus. Duis nibh mi, congue eu, accumsan eleifend, sagittis quis, diam. Duis eget orci sit amet orci dignissim rutrum.

"Software is like sex: it's better when it's free"

— Linus Torvalds

"The numbers are where the scientific discussion should start, not end."
— Steven N. Goodman

Resumo

Lorem ipsum dolor sit amet, consectetuer adipiscing elit. Ut purus elit, vestibulum ut, placerat ac, adipiscing vitae, felis. Curabitur dictum gravida mauris. Nam arcu libero, nonummy eget, consectetuer id, vulputate a, magna. Donec vehicula augue eu neque. Pellentesque habitant morbi tristique senectus et netus et malesuada fames ac turpis egestas. Mauris ut leo. Cras viverra metus rhoncus sem. Nulla et lectus vestibulum urna fringilla ultrices. Phasellus eu tellus sit amet tortor gravida placerat. Integer sapien est, iaculis in, pretium quis, viverra ac, nunc. Praesent eget sem vel leo ultrices bibendum. Aenean faucibus. Morbi dolor nulla, malesuada eu, pulvinar at, mollis ac, nulla. Curabitur auctor semper nulla. Donec varius orci eget risus. Duis nibh mi, congue eu, accumsan eleifend, sagittis quis, diam. Duis eget orci sit amet orci dignissim rutrum.

Palavras-chave: COM-Poisson. Dados de contagem.

Lista de ilustrações

Figura 1 –	Ilustração de diferentes tipos de processos pontuais	19
Figura 2 –	Probabilidades pela distribuição Poisson para diferentes valores de .	23
Figura 3 –	Probabilidades pela distribuição Binomial Negativa para diferentes	
	valores de	26
Figura 4 –	Relação Média e Variância na distribuição Binomial Negativa	26
Figura 5 –	Probabilidades pela distribuição COM-Poisson para diferentes parâ-	
	metros	28
Figura 6 –	Exemplos de casos particulares da distribuição COM-Poisson	28
Figura 7 –	Relação Média e Variância na distribuição COM-Poisson	29
Figura 8 –	Convergência da constante de normalização da COM-Poisson para	
	diferentes conjuntos de parâmetros	30
Figura 9 –	Ilustração de dados de contagem com excesso de zeros	31
Figura 10 –	(Esquerda) Número de capulhos produzidos para cada nível de des-	
	folha e estágio fenológico	36
Figura 11 –	Disposição das variáveis de contagem nº de estruturas reprodutivas,	
	nº de capulhos produzidos e nº de nós da planta observadas sob	
	diferentes dias de exposição à infestação de Mosca-branca	37
Figura 12 –	Disposição das variáveis de contagem nº de grãos e nº de vagens	
	viáveis por parcela observadas no experimento com a cultura de soja	38
Figura 13 –	Médias e variâncias amostrais das contagens avaliadas no experi-	
	mento com cultura de soja sob efeito umidade e adubação potássica	39
Figura 14 –	(Esquerda)	40
Figura 15 –	(Esquerda) Logarítmo neperiano do Número de peixes capturados	
	acrescido de 0,5 para as diferentes formulações dos grupos	40
Figura 16 –	Dispersão do número de nematóides em uma alíquota de 1ml provida	
	pela solução de 1 g/ml de massa fresca diluída	41
Figura 18 –	Imagem da matriz de correlação entre os parâmetros do modelo	
	COM-Poisson	47
Figura 19 –	Curva dos valores preditos com intervalo de confiança de (95%) como	
	função do nível de desfolha e do estágio fenológico da planta	48
Figura 20 –	Perfis de log-verossimilhança para o parâmetro extra da COM-Poisson	
	nos modelos para número de capulhos produzidos (esquerda), nú-	
	mero de estruturas reprodutivas (central) e número de nós (direira) .	49
Figura 17 –	Perfil de log-verossimilhança para o parâmetro extra da COM-Poisson	50
Figura 21 –	Imagem da matriz de correlação entre os parâmetros do modelo	
	COM-Poisson	50

Figura 23 –	Curva dos valores preditos com intervalo de confiança de (95%) como	
	função do nível de desfolha e do estágio fenológico da planta	51
Figura 24 –	Perfis de log-verossimilhança para o parâmetro extra da COM-Poisson	
	nos modelos para número de vagens viáveis por parcela (esquerda) e	
	número grãos de soja por parcela (direira)	53
Figura 22 –	Imagem da matriz de correlação entre os parâmetros do modelo	
	COM-Poisson	53
Figura 25 –	Imagem da matriz de correlação entre os parâmetros do modelo	
	COM-Poisson ajustados ao número de vagens por parcela	54
Figura 26 –	Imagem da matriz de correlação entre os parâmetros do modelo	
	COM-Poisson ajustados ao número de grãos por parcela	55
Figura 27 –	Valores preditos com intervalos de confiança (95%) como função	
	do nível de adubação com potássio e do percentual de umidade do	
	solo para cada variável de interesse mensurada (número de vagens e	
	número de grãos por parcela)	56
Figura 29 –	Imagem da matriz de correlação entre os parâmetros do modelo	
	COM-Poisson	58
Figura 28 –	Perfil de log-verossimilhança para o parâmetro extra da COM-Poisson	58
Figura 30 –	Valores preditos com intervalos de confiança (95%) em função das	
	cultivares de soja e da data de avaliação da planta	59

Lista de tabelas

Tabela 1 –	Distribuições de probabilidades para dados de contagem com indica-	
	ção das características contempladas	22
Tabela 2 –	Médias e variâncias amostras das contagens avaliadas no experimento	
	de capulhos de algodão sob efeito de Mosca-Branca	37
Tabela 3 –	Medidas de ajuste para avaliação e comparação entre preditores e	
	modelos ajustados	46
Tabela 4 –	Medidas de ajuste para avaliação e comparação entre preditores e	
	modelos ajustados	49
Tabela 5 –	Medidas de ajuste para avaliação e comparação entre preditores e	
	modelos ajustados	52
Tabela 6 –	Medidas de ajuste para avaliação e comparação entre preditores e	
	modelos ajustados	57

Lista de símbolos

log Logarítmo neperiano (de base e).

 ℓ log-verossimilhança maximizada.

AIC Critério de Informação de Akaike, do inglês Akaike Information Crite-

rion.

Sumário

17
21
22
24
25
27
31
32
35
35
35
35
36
37
38
39
40
41
42
45
45
ranca 48
ão
51
55
61
63
65
r ,

ANEXOS	67
ANEXO A – LIPSUM	 69

1 Introdução

Em diversas áreas do conhecimento é comum o interesse em i) compreender o relacionamento entre variáveis de interesse e características de uma amostra e ii) realizar predições por meio de modelos estatísticos ajustados por dados de uma amostra. A teoria de modelos de regressão sustentam muitas das pesquisas na área de Estatística aplicada.

Os modelos de regressão, na sua forma univariada e usual, consistem no estabelecimento de uma equação matemática que relaciona a média de uma variável aleatória de interesse (variável resposta) com as demais variáveis aleatórias observadas (covariáveis). Nesta metodologia considera-se uma distribuição de probabilidades para a variável resposta condicionada as covariáveis cuja a média está associada a uma preditor que acomoda os efeitos das variáveis independentes.

Podemos destacar o modelo linear normal como o modelo predominante dentre as análises estatísticas aplicadas. Esse modelo estabelece que a variável resposta condicional as covariáveis têm distribuição Normal de média descrita por um preditor linear das covariáveis. Todavia, não são raras as situações me que a variável resposta se apresenta na forma de contagens, assumindo valores inteiros não negativos. Variáveis aleatórias de contagem, de forma geral, representam o número de ocorrências de um evento em um domínio específico que pode ser contínuo, como um intervalo de tempo ou espaço, ou discreto, como indivíduos ou grupos.

A análise de dados de contagem pelo modelo linear normal produz estimativas que contêm erros padrões inconsistentes e podem produzir predições negativas para o número de eventos (??). Uma alternativa adotada durante muitos anos, e ainda aplicada, é encontrar alguma forma de transformação da variável resposta a fim de atender aos pressupostos do modelo de regressão normal. Contudo essa abordagem dispõe de resultados insatisfatórios, pois i) dificulta a intepretação dos resultados, ii) não contempla a natureza da variável (ainda serão valores pontuais, só que em outra escala) iii) não contempla a relação média e variância, característica de dados de contagem e iv) no uso da transformação logarítmica é problemática quando há contagens nulas.

Diante do problema diferentes abordagens foram propostas, contudo destaca-se o trabalho apresentado por ??) que introduz a teoria dos modelos lineares generalizados (MLG's). Esta nova classe de modelos flexibilizou a distribuição condicional associada permitindo outras distribuições pertencentes à família exponencial de distribuições. Tal família contempla as distribuições Poisson, Binomial, Gama entre outras bem conhecidas na literatura, além da própria distribuição Normal.

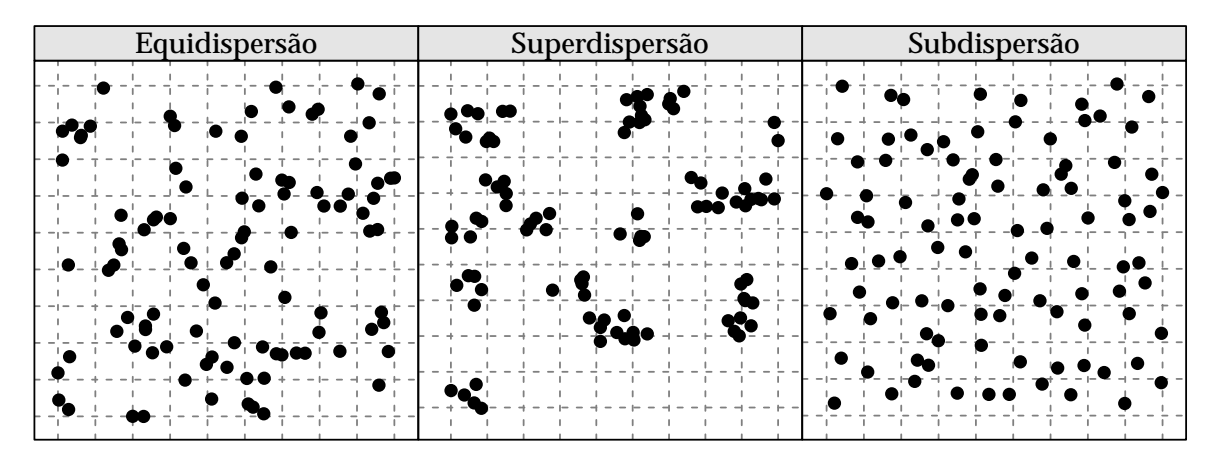
Com os MLG's a modelagem de dados passou a ser mais fiel a natureza da variável resposta, principalmente no que diz respeito ao seu suporte. Neste contexto, a análise de variáveis aleatórias de contagem, que têm suporte nos conjunto dos números naturais, foi enriquecida expressivamente.

Para análise estatística dessas variáveis, temos o modelo probabilístico de Poisson, já consolidado na literatura e amplamente utilizado. Este modelo possui apenas um parâmetro, denotado por λ , que representa a média e também a variância, o que implica em uma relação identidade ($\lambda = E[Y] = V[Y]$). Essa propriedade, chamada de equidispersão, é uma particularidade do modelo Poisson que pode não ser adequada a diversas situações. Quando aplicado sob negligência desta suposição, o modelo Poisson apresenta erros padrões inconsistentes para as estimativas dos parâmentros e por consequência, para toda função desses parâmetros (????).

O caso de superdispersão, quando a variância é maior que a média, é o mais comum e tem uma gama de métodos para análise mais extensa. A superdispersão pode ocorrer pela ausência de covariáveis importantes, excesso de zeros, diferentes amplitudes de domínio (offset) não consideradas, heterogeneidade de unidades amostrais, entre outros (??). Para tais casos uma abordagem é a adoção de modelos com efeitos aleatórios que capturam a variabilidade extra. Um caso particular dos modelos Poisson de efeitos aleatórios, muito adotado no campo aplicado da Estatística, ocorre quando consideramos distribuição Gama para os efeitos aleatórios, nesta situação temos expressão fechada para a função de probabilidade marginal, que assume a forma Binomial Negativa.

Outra manifestação de fuga da suposição de equidispersão é a subdispersão, situação menos comum na literatura. Os processos que reduzem a variabilidade das contagens, abaixo do estabalecido pela Poisson, não são tão conhecidos quanto os que produzem variabilidade extra. Pela mesma razão, são poucas as abordagens descritas na literatura que capazes de tratar a subdispersão, uma vez que efeitos aleatórios só capturam a variabilidade extra. Podemos citar os modelos de quasi-verossimilhança como a abordagem mais utilizada. Todavia não é possível recuperar a verdadeira distribuição da variável resposta nessa abordagem pois a modelagem é baseada apenas nos dois primeiros momentos da distribuição condicional (??).

A figura 1 ilustra, sob um contexto espacial de duas dimensões, a ocorrência das características de equi, super e subdispersão respectivamente. Nesta figura cada ponto representa a ocorrência de uma variável aleatória e cada parcela, delimitada pelas linhas pontilhadas, representa o intervalo no espaço cujo contabiliza-se as ocorrências. No painel da esquerda temos a representação de dados de contagem equidispersos, neste cenário temos que as ocorrências da variável aleatória se dispõem aleatoriamente. No painel central o padrão já se altera, temos a representação do caso de superdispersão.



Fonte: Elaborado pelo autor.

Figura 1 – Ilustração de diferentes tipos de processos pontuais. Da direita para esquerda temos processos sob padrões aleatório, aglomerado e uniforme

Note que neste cenário formam-se aglomerados que deixam parcelas co contagens mutio elevadas e parcelas com contagens baixas. Uma possível causa deste padrão se dá pelo processo de contágio (e.g. contagem de casos de uma doença contagiosa, contagem de frutos apodrecidos). Na terceiro e último painel temos o caso de subdispersão, em que as ocorrências se dispõe uniformemente no espaço. Note agora que as contagens de ocorrências nas parcelas variam bem pouco. Ao contrário do caso superdisperso uma causa provável seria o oposto de contágio, a repulsa, ou seja, uma ocorrência causa a repulsa de outras ocorrências em seu redor (e.g. contagem de árvores, contagem de animais).

Outra alterativa paramétrica que contempla os casos de equi, super e subdispersão é a adoção de uma distribuição mais flexível para a variável resposta condicional as covariáveis. A distribuição COM-Poisson surgiu anteriormente à formalização dos MLG's, proposta por ??) a COM-Poisson (nome em em homenagem aos seus autores Richard W. Conway, William L. Maxwell, **Co**nway-**M**axwell-Poisson) generaliza a distribuição Poisson com a adição de mais uma parâmetro, denotado por ν , que torna a razão de probabilidades sussecivas não linear contemplando os casos de sub e superdispersão (??).

Uma característica bastante relevante é que a COM-Poisson possui como casos particulares as distribuições Poisson, Geométrica e Binomial. Portanto, empregando a COM-Poisson como distribuição condicional associada, obtemos um modelo de regressão sem a imposição de equidispersão. Tal flexibilidade, considerando o amplo uso do modelo Poisson, significa que a COM-Poisson pode ser aplicada nessas situações e será especialmente importante naquelas onde há fuga da equidispersão.

Pela similaridade da função de distribuição COM-Poisson com a Poisson, vários

aspectos podem ser estendidos. Por exemplo, há situações em que o delineamento do experimento sugere uma estrutura de covariância entre observações induzidas por um processo hierárquico de casualização ou amostragem. São casos assim os experimentos em parcelas subdivididas e experimentos com medidas repetidas ou longitudinais. Tais estruturas estabelecem modelos com efeitos não observáveis que agem no nível de observação ou unidade experimental e isso pode ser incorporado no modelo de regressão COM-Poisson com a inclusão de efeitos aleatórios. Da mesma forma, excesso de zeros pode ser introduzido a essa distribuição da mesma maneira que ocorre para o modelo Poisson, através de truncamento (modelos Hurdle) ou inflação (modelos de mistura) (??). Estas extensões para o modelo COM-Poisson ainda não são bem consolidadas na literatura e são escassas suas aplicações. Uma constatação do fato é que não há implementações destas extensões nos principais softwares estatísticos.

Na literatura brasileira, aplicações do modelo COM-Poisson são escassas. Foram encontradas apenas aplicações na área de Análise de Sobrevivência, mais especificamente em modelos com fração de cura (????). Portanto, o presente trabalho visa colaborar com a literatura estatística brasileira i) apresentando e explorando o modelo de regressão COM-Poisson para dados de contagem, ii) estendendo as aplicações desse modelo COM-Poisson para situações específicas como inclusão de efeitos aleatórios e modelagem de excesso de zeros, iii) discutindo os aspectos inferenciais por meio de análise de dados reais e iv) disponibilizando os recursos computacionais, em formato de pacote R, para ajuste dos modelos apresentados. Nas aplicações optou-se também pela análise via modelos já disponíveis para as situações estudas.

O trabalho é organizado em cinco capítulos. Esse primeiro capítulo visa enfatizar as características das variáveis aleatórias de contagem e suas lacunas que podem ser complementadas na análise estatística dessas variáveis. O capítulo 2 é dedicado a revisão bibliográfica dos modelos estatísticos empregados a análise de dados de contagem, nesse capítulo os modelos Poisson, Binomial Negativo, as abordagens para excesso de zeros, a estrutura dos modelos de efeitos aleatórios e o modelo COM-Poisson são apresentados. No capítulo ?? apresentammos os conjuntos de dados a serem analisados e os métodos para ajuste e comparação dos modelos. O capítulo 4 traz os os principais resultados da aplicação e comparação dos modelos estatísticos com ênfase nas discussões sob aspectos inferenciais empíricos. Finalmente no capítulo 5 são apresentadas as considerações finais obtidas desse trabalho e listados algumas possíveis linhas de pesquisa para estudos futuros.

2 Modelos para dados de contagem

Métodos para inferência em dados de contagem estão bem aquém da quantidade disponível para dados contínuos. Destacamos o modelo log-linear Poisson como o modelo mais utilizado quando se trata de dados de contagem. Porém não raramente os dados de contagens apresentam variância superior ou inferior à sua média. Esses são os casos de super ou subdispersão já enunciados no capítulo 1, que quando ocorrem inviabilizam o uso da distribuição Poisson.

Nos casos de fuga da equidispersão algumas abordagens não paramétricas são empregadas. Nesse contexto, podemos citar os métodos de estimação via quase-verossimilhança, estimação robusta dos erros padrões (estimador "sanduíche") e estimação dos erros padrões via reamostragem ("bootstrap") (??). Desses métodos detalhamos brevemente somente o método de estimação via função de quase-verossimilhança na seção 2.1.1.

No contexto paramétrico, pesquisas recentes trazem modelos bastante flexíveis à fuga de equidispersão no campo da Estatística aplicada, veja (??????). Na tabela 1 listamos as distribuições de probabilidades consideradas por ??) e ??) e as características de dados de contagem que são contempladas. Notamos que a Poisson na verdade é um caso particular, pois é a única das distribuições listada que contempla somente a característica de equidipersão, ainda observa-se que temos um conjunto maior de distribuições para os casos de superdispersão com relação os casos de subdispersão. Embora este grande número de distribuições exista para lidar com os casos de fuga de equidispersão destacamos que são poucos os pacotes estatísticos que empregam essas distribuições a modelos de regressão para dados de contagem.

Dos modelos paramétricos o Binomial Negativo aparece em destaque com implementações já consolidadas nos principais *softwares* estatísticos e frequentes aplicações nos casos de superdispersão. Na seção 2.2 detalhes da construção desses modelos são apresentados. Dos demais modelos derivados das distribuições listadas na tabela ?? este trabalho abordará somente o modelo COM-Poisson, que é apresentado com detalhes na seção 2.3.

Um outro fenômeno que é frequente em dados de contagem é a ocorrência excessiva de zeros. Esse fenômeno sugere a modelagem de dois processos geradores de dados, o gerador de zeros extra e o gerador das contagens. Existem ao menos duas abordagens pertinentes para estes casos que são os modelos de mistura e os modelos condicionais. Na abordagem por modelos de mistura a variável resposta é modelada como uma mistura de duas distribuições, no trabalho de ??), uma mistura

Distribuição	Contempla a característica de		
	Equidispersão	Superdispersão	Subdispersão
Poisson	√		
Binomial Negativa	\checkmark	\checkmark	
Inverse Gaussian Poisson	\checkmark	\checkmark	
Compound Poisson	\checkmark	\checkmark	
Poisson Generalizada	\checkmark	\checkmark	\checkmark
Gamma-Count	\checkmark	\checkmark	\checkmark
COM-Poisson	\checkmark	\checkmark	\checkmark
Katz	\checkmark	\checkmark	\checkmark
Poisson Polynomial	\checkmark	\checkmark	\checkmark

Tabela 1 – Distribuições de probabilidades para dados de contagem com indicação das características contempladas

Fonte: Elaborado pelo autor.

Double-Poisson Lagrangian Poisson

da distribuição Bernoulli com uma distribuição de Poisson ou Binomial Negativa. Considerando os modelos condicionais, também chamados de modelos de barreira (??), temos que a modelagem da variável resposta é realizada em duas etapas. A primeira refere-se ao processo gerador de contagens nulas e a segunda ao gerador de contagens não nulas. Nesta trabalho a modelagem de excesso de zeros se dará somente via modelos de barreira. A seção 2.4 é destinada a um breve detalhamento desta abordagem.

Nesta capítulo também abordamos a situação da inclusão de efeitos aleatórios no seção 2.5. Em análise de dados de contagem a inclusão desses efeitos perimitem acomodar variabilidade extra e incorporar a estrutura amostral do problema como em experimentos com medidas repetidas ou longitudinais e experimentos em parcelas subdivididas.

2.1 Modelo Poisson

A Poisson é uma das principais distribuição de probabilidades discretas. Com suporte nos inteiros não negativos, dizemos que uma variável aleatória segue um modelo Poisson se sua função massa de probabilidade for

$$Pr(Y = y \mid \lambda) = \frac{\lambda^{y} e^{-\lambda}}{y!}$$
 $y = 0, 1, 2, \cdots$ (2.1)

em que $\lambda > 0$ representa a taxa de ocorrência do evento de interesse. Uma particularidade já destacada desta distribuição é que $E(X) = V(X) = \lambda$. Isso torna a distribuição Poisson bastante reestritiva. Na figura 2 são apresentadas as ditribuições Poisson para

2.1. Modelo Poisson 23

diferentes parâmetros, note que devido a propriedade E(X) = V(X) contagens maiores também são mais dispersas.

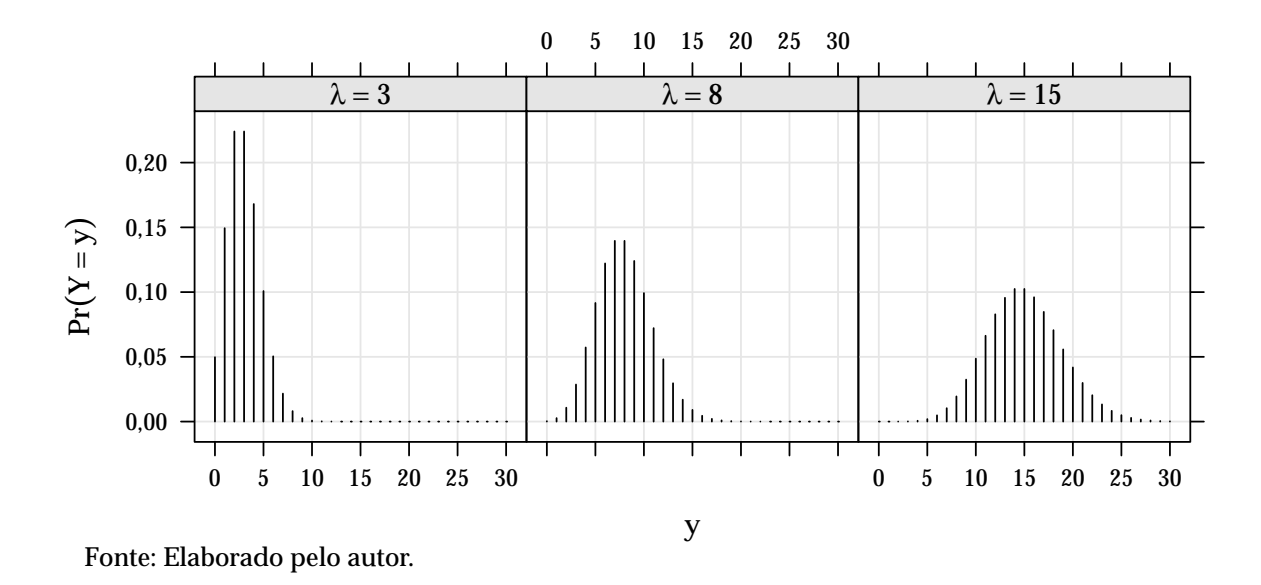


Figura 2 – Probabilidades pela distribuição Poisson para diferentes valores de λ

Uma propriedade importante da distribuição Poisson é sua relação com a distribuição Exponencial. Essa relação estabelece que se os tempos entre a ocorrência de eventos se distribuem conforme modelo Exponencial de parâmetro λ a contagem de eventos em um intervalo de tempo t tem distribuição Poisson com média λt . A distribuição Gamma-Count, citada na tabela 1, estende esta propriedade do processo adotando a distribuição Gama para os tempos entre eventos tornando a distribuição da contagem decorrente mais flexível (????).

Outra propriedade que decorre da construção do modelo Poisson é sobre a razão entre probabilidades sucessivas, $\frac{P(Y=y-1)}{P(Y=y)} = \frac{y}{\lambda}$. Essa razão é linear em y e tem sua taxa de crescimento ou decrescimento como $\frac{1}{\lambda}$. Os modelos Katz e COM-Poisson se baseiam na generalização da razão de probabilidades a fim de flexibilizar a distribuição decorrente.

A utilização do modelo Poisson na análise de dados se dá por meio do modelo de regressão Poisson. Seja Y_i variáveis aleatórias condicionalmente independentes, dados as covariáveis X_i , $i=1,2,\cdots,n$. O modelo de regressão log-linear Poisson, sob a teoria dos MLG's é definido como

$$Y_i \mid X_i \sim Poisson(\mu_i)$$

$$\log(\mu_i) = X_i \beta$$
(2.2)

em que $\mu_i > 0$ é a média da variável aleatória $Y_i \mid X_i$ que é calculada a partir do vetor $\beta \in \mathbb{R}^p$.

O processo de estimação do vetor β é baseado na maximização da verossimilhança que nas distribuições que pertencem à família exponencial, os MLG's, é realizado via algoritmo de mínimos quadrados ponderados iterativamente, ou, do inglês *Iteractive Weighted Least Squares - IWLS* (??).

2.1.1 Estimação via Quase-Verossimilhança

Em 1974 ?? propôs uma forma de estimação a partir de uma função biparamétrica, denoninada quase-verossimilhança. Suponha que temos y_i observações independentes com esperanças μ_i e variâncias $V(\mu_i)$. A função de quase-verossimilhança é é expressa como

$$Q(\mu_i \mid y_i) = \int_{y}^{\mu_i} \frac{y_i - t}{\phi V(\mu_i)} dt$$
 (2.3)

Note na expressão 2.3 que a função de quase-verossimilhança é definida a partir da especificação de μ_i , $V(\mu_i)$ e ϕ . O processo de estimação via maximização dessa função compartilha as mesmas estimativas para μ_i , porém a dispersão de y_i , $V(y_i) = \phi V(\mu_i)$ é corrigida pelo parâmetro adicional ϕ .

Assim os problemas com a fuga da suposição de equidispersão podem ser superados quando a estimação por máxima quase-verossimilhança é adotado. Porém um resultado dessa abordagem é que

$$-E\left(\frac{\partial^2 Q(\mu\mid y)}{\partial \mu^2}\right) \le -E\left(\frac{\partial^2 \ell(\mu\mid y)}{\partial \mu^2}\right)$$

ou seja a informação a respeito de μ quando se conhece apenas ϕ e $V(\mu)$, a relação entre média e variância, é menor do que a informação quando se conhece a distribuição da variável resposta, dada pela log-verossimilhança $\ell(\mu \mid y)$. Além disso ressalta-se que, de forma geral, não se recupera a distribuição de Y somente com as especificações de ϕ e $V(\mu)$.

Em modelos de regressão, definimos $g(\mu_i) = X\beta$ e $V(\mu_i)$ que definem a função de quase-verossimilhança. Nessa abordagem são estimados os parâmetros β e ϕ . A estimativa do vetor β pode ser obtidas pelo algoritmo IWLS, usando as funções quase-escore e matriz de quase-informação. Para o parâmetro ϕ um estimador usual é o baseado na estatística χ^2 de Pearson.

$$\hat{\phi} = \frac{1}{n-p} \sum_{i=1}^{n} \frac{(y_i - \hat{\mu}_i)^2}{V(\hat{\mu}_i)}$$
 (2.4)

2.2 Modelo Binomial Negativo

Uma das principais alternativas paramétricas para dados de contagem superdispersos é a adoção da distribuição Binomial Negativa. A função massa de probabilidade da distribuição Binomial Negativa pode ser deduzida de um processo hierárquico de efeitos aleatórios onde se assume que

$$Y \mid b \sim Poisson(b) b \sim Gama(\mu, \phi)$$
 (2.5)

A função massa de probabilidade decorrente da estrutura descrita em 2.6 é deduzida integrando os efeitos aleatórios, considere $f(y \mid b)$ como a função massa de probablidade da distribuição Poisson (vide expressão em 2.1) e $g(b \mid \mu, \phi)$ a função densidade da distribuição Gama 1

$$Pr(Y = y \mid \mu, \phi) = \int_0^\infty f(y \mid b)g(b \mid \mu, \phi)db$$

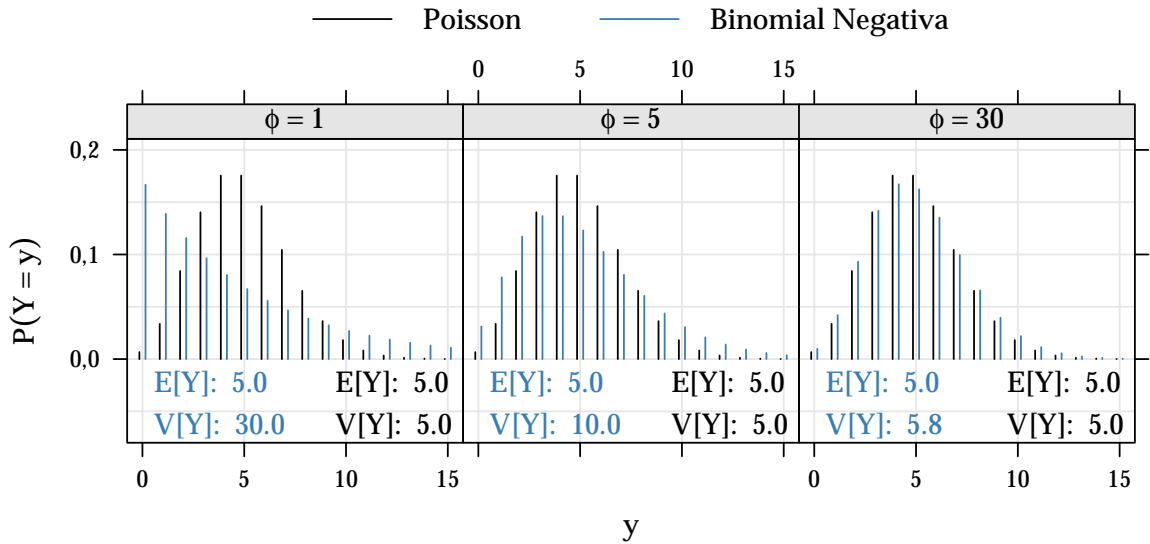
$$= \frac{\phi^{\phi}}{y!\mu^{\phi}\Gamma(\phi)} \int_0^\infty e^{-b(1+\phi/\mu)}b^{y+\phi-1}db$$

$$= \frac{\Gamma(\phi + y)}{\Gamma(y+1)\Gamma(\phi)} \left(\frac{\mu}{\mu + \phi}\right)^y \left(\frac{\phi}{\mu + \phi}\right)^{\phi} \qquad y = 0, 1, 2, \cdots$$
(2.6)

com $\mu>0$ e $\phi>0$. Ressaltamos que esse é um caso particular de um modelo de efeito aleatório cuja a integral tem solução analítica e por consequência o modelo marginal tem forma fechada. Outro caso que se baseia no mesmo princípio é o modelo *Inverse Gaussian Poisson*, que como o nome sugere adota a distribuição Inversa Gaussiana para os efeitos aleatórios. Na figura 3 são apresentadas as distribuições Binomial Negativa para diferentes parâmetros ϕ em comparação com a distribuição Poisson equivalente em locação. Note que quanto menor o parâmetro ϕ , maior a dispersão da distribuição. Isso introduz uma propriedade importante desse modelo, para $\phi \to \infty$ a distribuição reduz-se a Poisson.

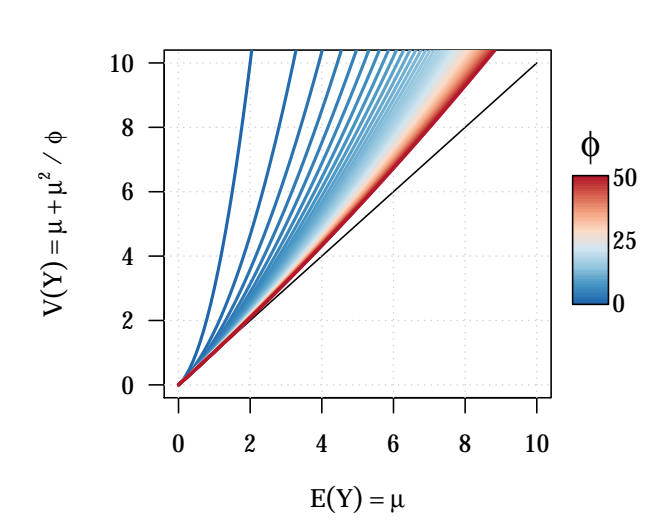
Os momentos média e variância da distribuição Binomial Negativa são expressos como $E(Y) = \mu$ e $V(Y) = \mu + \mu^2/\phi$. Note que pelas expressões fica evidente a característica da Binomial Negativa de acomodar somente superdispersão, pois E(Y) é menor que V(Y) para qualquer ϕ . Percebemos também quanto maior o parâmetro ϕ mais E(Y) se aproxima de V(Y), e no limite $\phi \to \infty$, E(Y) = V(Y) fazendo com que a distribuição Binomial Negativa se reduza a Poisson.

O desenvolvimento detalhado da integral pode ser visto em ??, pág. 303-305). Obs.: A função densidade do modelo Gama está parametrizada para que μ represente a média da distribuição.



Fonte: Elaborado pelo autor.

Figura 3 – Probabilidades pela distribuição Binomial Negativa para diferentes valores de ϕ com $\mu=5$



Fonte: Elaborado pelo autor.

Figura 4 – Relação Média e Variância na distribuição Binomial Negativa

A relação funcional entre média e variância é ilustrada na figura 4 onde apesentamos as médias e variâncias para μ entre 0 e 10 e ϕ entre 0 e 50. O comportamento dessa relação proporciona um mairo flexibilidade à distribuição em acomodar superdispersão, uma característica importante exibida nesta figura é que para a Binomial Negativa se aproximar a Poisson em contagens altas o ϕ deve ser extremamente grande.

O emprego do modelo Binomial Negativo em problemas se regressão ocorre de maneira similar aos MLG's, com excessão de que a distribuição só pertence a família exponencial de distribuições se o parâmetro ϕ for conhecido e assim o

processo sofre algumas alterações. Primeiramente, assim como na Poisson, definimos $g(\mu_i) = X\beta$, comumente utiliza-se a função $g(\mu_i) = \log(\mu_i)$. Desenvolvendo a logverossimilhança e suas funções derivadas, função escore e matriz de informação de Fisher chegamos que a matriz de informação é bloco diagonal caracterizando a ortogonalidade dos parâmetros β de locação e ϕ de dispersão. Deste fato decorre que a estimação dos parâmetros pode ser realizada em paralelo, ou seja, estima-se o vetor beta

2.3. Modelo COM-Poisson 27

pelo método de IWLS e posteriormente o parâmetro ϕ pelo método de Newton-Raphson, faz-se os dois procedimentos simultaneamente até a convengência dos parâmetros.

2.3 Modelo COM-Poisson

A distribuição de probabilidades COM-Poisson foi proposta em 1962, em um contexto de filas por **??** e generaliza a Poisson em termos da razão de probabilidades sucessivas, como veremos adiante. Seja *Y* uma variável aleatória COM-Poisson, então sua função massa de probabilidade é

$$Pr(Y = y \mid \lambda, \nu) = \frac{\lambda^y}{(y!)^{\nu} Z(\lambda, \nu)} \qquad y = 0, 1, 2, \cdots$$
 (2.7)

em que $\lambda > 0$, $\nu \ge 0$ e $Z(\lambda, \nu)$ é uma constante de normalização, calculada para que de fato seja uma função massa de probabilidade. $\sum_{i=1}^{\infty} Pr(Y=y) = 1$. $Z(\lambda, \nu)$ é definida como se segue

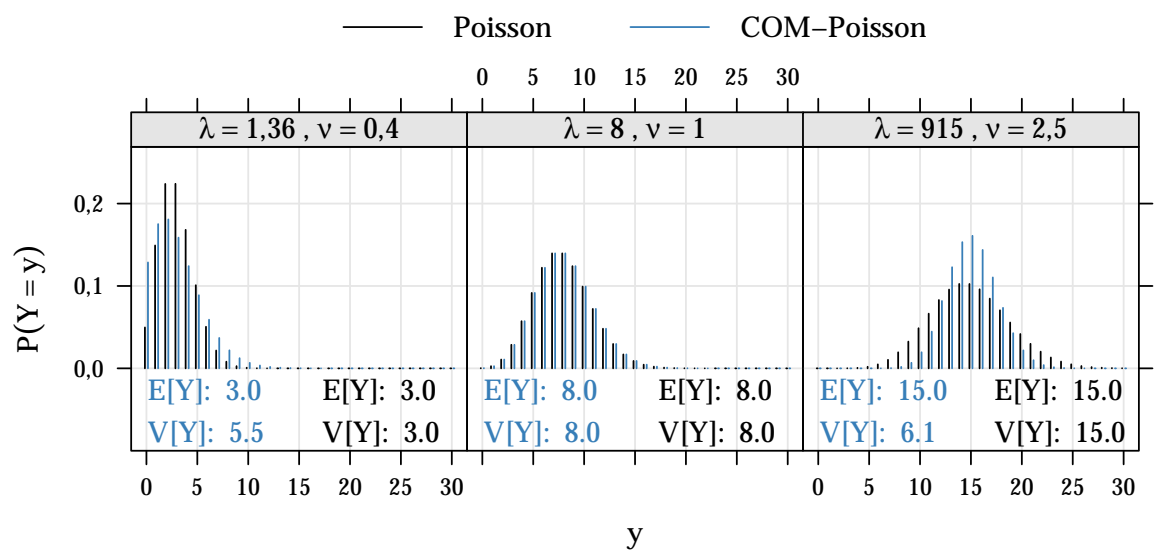
$$Z(\lambda, \nu) = \sum_{j=0}^{\infty} \frac{\lambda^j}{(j!)^{\nu}}$$
 (2.8)

O fato que torna a distribuição COM-Poisson mais flexível é a razão entre probabilidades sucessivas

$$\frac{Pr(Y=y-1)}{Pr(Y=y)} = \frac{y^{\nu}}{\lambda}$$
 (2.9)

que se caracteriza não necessariamente linear em y, diferentemente da Poisson, o que permite caudas mais pesadas ou mais magras à distribuição (??). Na figura 5 apresentamos as dsitribuições COM-Poisson para diferentes valores de λ e ν em contraste com as equivalentes, em locação, distribuições Poisson. Nessa figura podemos apreciar a flexibilidade desse modelo, pois i) contempla o caso de subdispersão mesmo em contagens baixas (E(Y)=3, painel a esquerda), a distribuição permite caudas pesadas e consequentemente uma dispersão extra Poisson, ii) contempla subdisersão mesmo em contagens altas, o que na Poisson teriamos variabilidade na mesma magnitude, na COM-Poisson podemos ter caudas mais magras concentrando as probabilidades em torno da média (painel a direita) e iii) tem como caso particular a Poisson quando o parâmetro $\nu=1$ (painel central).

Uma das vantagens do modelo COM-Poisson é que possui, além da Poisson quando $\nu=1$ outros distribuições bem conhecidas como casos particulares. Esses casos particulares ocorrem essencialmente devido a forma assumida pela série infinita $Z(\lambda,\nu)$. Quando $\lambda=1$, $Z(\lambda,\nu=1)=e^{\lambda}$ e substituindo na expressão 2.7 temos a distribuição



Fonte: Elaborado pelo autor.

Figura 5 – Probabilidades pela distribuição COM-Poisson para diferentes parâmetros

Poisson resultante. Quando $\nu \to \infty$, $Z(\lambda, \nu) \to 1 + \lambda$ e a distribuição COM-Poisson se aproxima de uma distribuição Bernoulli com $P(Y=1) = \frac{\lambda}{1+\lambda}$. E quando $\nu=0$ e $\lambda < 1$ $Z(\lambda, \nu)$ é uma soma geométrica que resulta em $(1-\lambda)^{-1}$ e a expressão 2.7 se resume a uma distribuição Geométrica com $P(Y=0) = (1-\lambda)$ (??). Os três respectivos casos particulares citados são ilustrados na figura 6, onde determinamos os parâmetros conforme reestrições para redução da distribuição.

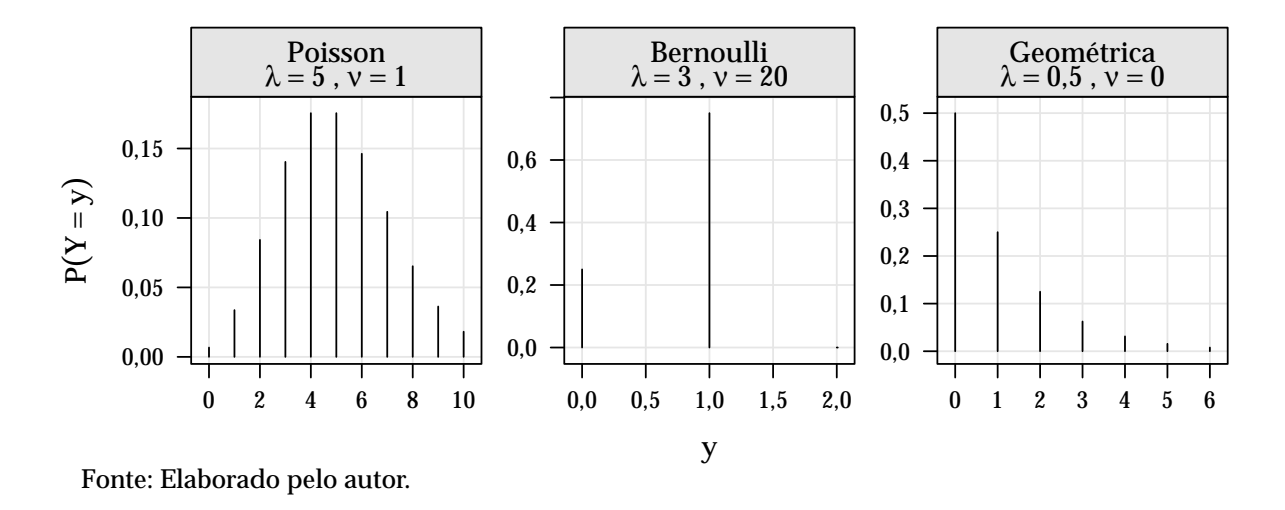


Figura 6 – Exemplos de casos particulares da distribuição COM-Poisson

Um inconveniente desse modelo é que os momentos média e variância não tem forma fechada. Sendo assim podem ser calculados a partir da definição

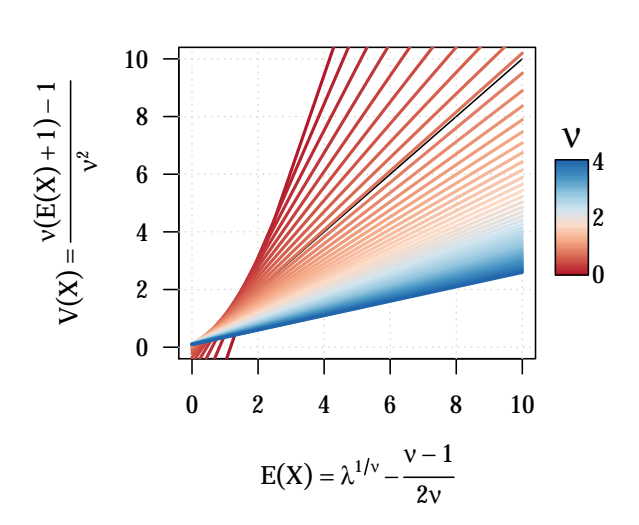
2.3. Modelo COM-Poisson 29

$$E(Y) = \sum_{y=0}^{\infty} y \cdot p(y) \qquad V(Y) = \sum_{y=0}^{\infty} y^2 \cdot p(y) - E^2(Y)$$

 $\ref{eq:continuous}$, a partir de uma aproximação para $Z(\lambda,\nu)$, apresenta uma forma aproximada para os momentos da distribuição

$$E(Y) \approx \lambda^{1/\nu} - \frac{\nu - 1}{2\nu}$$
 $V(Y) \approx \frac{\lambda^{1/\nu}}{\nu}$ (2.10)

os autores ressaltam que essa aproximação é satisfatória para $\nu \leq 1$ ou $\lambda > 10^{\nu}$. Na figura 7 representamos de forma gráfica a relação média e variância aproximada pelas expressões em 2.10. Note que temos quase uma relação linear entre média e variância, ??) descrevem que essa pode ser aproximada por $\frac{1}{\nu}E(Y)$. Dessas aproximações, bem como das visualizações em 5, 6 e 7 temos que o parâmetros ν , ou $\frac{1}{\nu}$, controla a precisão da distribuição, sendo ela equidispersa $\mu=1$, superdispersa quando $\nu<1$ e subdispersa quando $\nu>1$.



Fonte: Elaborado pelo autor.

Figura 7 – Relação Média e Variância na distribuição COM-Poisson

mente formulado

Embora o modelo COM-Poisson não tenha expressão fechada para a média da distribuição pode-se utilizá-lo como modelo associado a distribuição condicional da variável resposta de contagem. Isso é feito incorporando um preditor linear em λ , que embora não representa a média está associado com a locação da distribuição, ou seja, modela-se a média indiretamente nessa abordagem. O modelo de regressão é definido com as variáveis aleatórias condicionalmente independentes Y_1, Y_2, \cdots, Y_n , dado o vetor de covariáveis $X_i = (x_{i1}, x_{i2}, \cdots, x_{ip})$ seguindo um modelo COM-Poisson de parâmetros $\lambda_i = e^{X_i \beta}, i = 1, 2, \dots, n \in \nu$ comum a todas as observações. Sob a notação de MLG's, temos em 2.2 o modelo devida-

$$Y_i \mid X_i \sim COM\text{-}Poisson(\lambda_i, \nu)$$

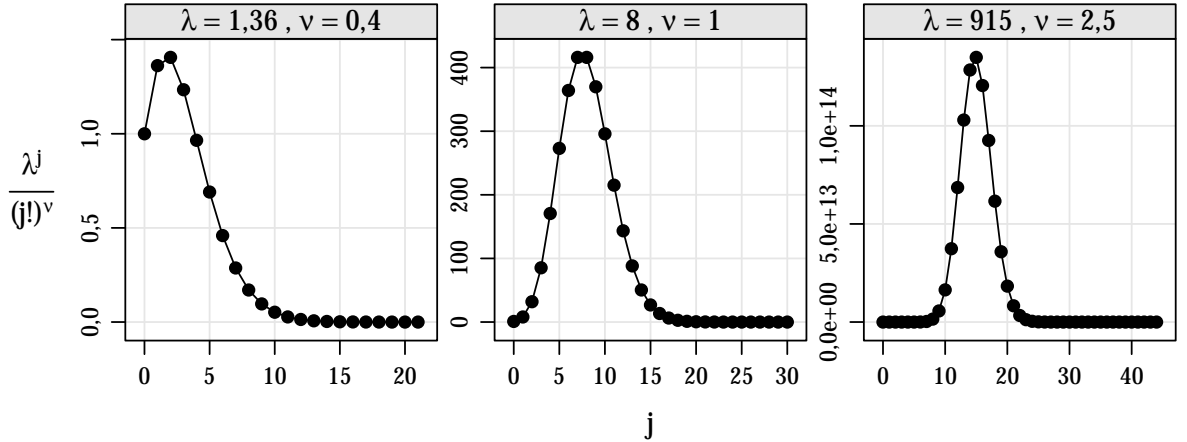
$$\eta(E(Y_i \mid X_i)) = \log(\lambda_i) = X_i\beta$$
(2.11)

O algoritmo para estimação do conjunto de parâmetros $\Theta=(\nu,\beta)$ do modelo é baseado na maximização da log-verossimilhança, que decorrente da especificação em 2.11 é

$$\ell(\nu,\beta \mid \underline{y}) = \sum_{i}^{n} y_{i} \log(\lambda_{i}) - \nu \sum_{i}^{n} \log(y!) - \sum_{i}^{n} \log(Z(\lambda_{i},\nu))$$
 (2.12)

e então as estimativas de máxima verossimilhança são

$$\hat{\Theta} = (\hat{\nu}, \hat{\beta}) = \underset{(\nu, \beta)}{\arg \max} \ \ell(\nu, \beta \mid \underline{y})$$



Fonte: Elaborado pelo autor.

Figura 8 – Convergência da constante de normalização da COM-Poisson para diferentes conjuntos de parâmetros

Note que nessa maximização a constante de normalização $Z(\lambda,\nu)$, conforme definida em 2.8 é calcula para cada indivíduo o que potencialmente torna o processo de estimação lento. Uma ilustração do número de incrementos considerados para cálculo da constante $Z(\lambda,\nu)$ é apresentado na figura 8, neste ilustração foram utilizados os mesmos parâmetros definidos em 5 e note que o número de incrementos considerados para convergência 2 . de $Z(\lambda,\nu)$ foram 22, 31, 45 nos primeiro, segundo e terceiro painéis respectivamente.

Detalhes computacionais do algoritmo de maximização e manipulações algébricas para eficiência na avaliação da log-verossimilhança no modelo COM-Poisson são discutidos na seção 3.2.

Adotou-se como critério de convergência a iteração j tal que $\lambda^j/(j!)^{\nu} < 0,00001$

2.4 Modelos para excesso de zeros

Problemas com excesso de zeros são comuns em dados de contagem. Caracterizase como excesso de zeros casos em que a quantidade observada de contagens nulas supera substancialmente aquela esperada pelo modelo de contagem adotado, no caso do modelo Poisson $e^{-\lambda}$.

As contagens nulas que geram o excesso de zeros podem ser decorridas de duas formas distintas. A primeira denominamos de zeros estruturais, quando a ocorrência de zero se dá pela ausência de determinada característica na população e a segunda, que denominamos zeros amostrais ocorre segundo um processo gerador de dados de contagem (e.g processo Poisson). Assim, de forma geral temos dois processos geradores de dados atuantes na geração de uma variável aleatória de contagem com excessivos zeros.

Em geral, quando dados de contagem apresentam excessos de valores zero também apresentarão subdispersão. Todavia, essa dispersão pode ser exclusivamente devido ao excesso de zeros e assim os modelos alternativos já apresentados não terão um bom desempenho. Uma ilustração deste fato é ilustrada pela figura 9, em que simulamos um conjunto de dados com excesso de ajustamos um modelo COM-Poisson. Note que em ambos os casos o modelo se ajustou adequadamente, indicando os excessos de zeros devem ser abordados de forma diferente.

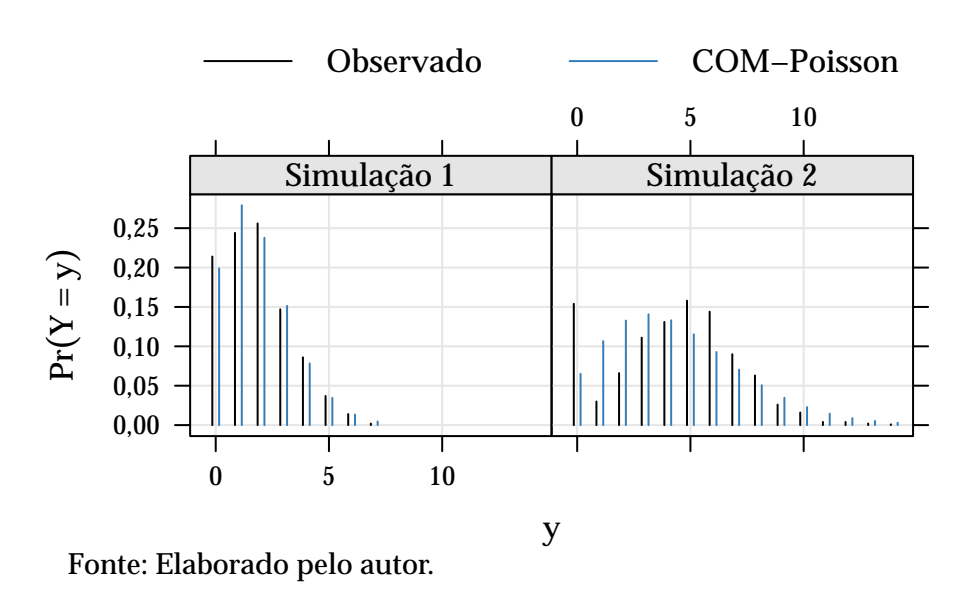


Figura 9 – Ilustração de dados de contagem com excesso de zeros

??, capítulo 7) discute sobre a interpretação e modelagem de dados de contagem com excesso de zeros. Para essa situação temos ao menos duas abordagens i) os modelos de mistura (??), também chamados de inflacionados, em inglês *Zero Inflated Models* e ii) os modelos condicionais (??), também chamados de modelos de barreira, em inglês

Hurdle Models. Neste trabalho somente a abordagem via modelos condicionais será abordada. A função massa de probabilidade do modelo Hurdle é

$$Pr(Y = y \mid \pi, \Theta_c) = \begin{cases} \pi & \text{se } y = 0, \\ (1 - \pi) \frac{Pr(Z = z \mid \Theta_c)}{1 - Pr(Z = 0 \mid \Theta_c)} & \text{se } y = 1, 2, \dots \end{cases}$$
 (2.13)

em que $0 < \pi < 1$, representa a probabilidade de ocorrência de zeros e $Pr(Z = z \mid \Theta_c)$ a função massa de probabilidade de uma variável aleatória de contagem Z, como a Poisson ou a Binomial Negativa.

Da especificação em 2.13, os momentos média e variância são obtidos facilmente usando as definições $E(Y) = \sum_{y=1}^{\infty} y \cdot Pr(Y=y)$ e $V(Y) = \sum_{y=1}^{\infty} y^2 \cdot Pr(Y=y) - E^2(Y)$

$$E(Y) = \frac{E(Z)(1-\pi)}{1 - Pr(Z=0)} \qquad V(Y) = \frac{1-\pi}{1 - Pr(Z=0)} \left[E(Z) \frac{(1-\pi)}{1 - Pr(Z=0)} \right]$$

Para a inclusão de covariáveis, caracterizando um problema de regressão, dado que o modelo tem dois processos atuantes devemos modelar ambos como se segue

$$\log\left(\frac{\pi_i}{1-\pi_i}\right) = G_i \gamma \qquad e \qquad \begin{array}{c} Z_i \sim D(\mu_i, \phi) \\ g(\mu_i) = X_i \beta \end{array}$$
 (2.14)

com $i=1,2,\cdots,n$, G_i e X_i as covariáveis da i-ésima observação consideradas para explicação da contagens nulas e não nulas respectivamente, $D(\mu_i,\phi)$ uma distribuição de probabilidades para considerada para as contagens não nulas que pode conter ou não um parâmetro ϕ adicional, se Poisson $D(\mu_i,\phi)$ se resume a $Poisson(\mu_i)$ e $g(\mu_i)$ uma função de ligação, nos casos Poisson e Binomial Negativa considera-se $\log(\mu_i)$. O que está implícito na formulação 2.14 é que para a componente que explica a geração de zeros está sendo considerada a distribuição Bernoulli de parâmetro π_i , contudo pode-se utilizar distribuições censuradas a direita no ponto y=1 para estimação desta probabilidade, como explicam ??).

2.5 Modelos de efeitos aleatórios

Nas seções anteriores exploramos modelos que flexibilizam algumas suposições do modelo Poisson. Basicamente pertimindo casos não equidispersos e modelando conjuntamente um processo gerador de zeros extra. Contudo uma suposição dos modelos de regressão para dados de contagem vistos até aqui é que as variáveis aleatória

 Y_1, Y_2, \dots, Y_n são condicionalmente indenpendentes, dado o vetor de covariáveis. Porém não são raras as situações em que essa suposição não se mostra adequada. **??**) cita alguns exemplos:

- as observações podem ser correlacionadas no espaço,
- as observações podem ser correlacionadas no tempo,
- interações complexas podem ser necessárias para modelar o efeito conjunto de algumas covariáveis,
- heterogeneidade entre indivíduos ou unidades podem não ser suficientemente descrita por covariáveis.

Nessas situações pode-se estender a classe de modelos de regressão com a adição de efeitos aleatórios que incorporam variáveis não observáveis (latentes) ao modelo, permitindo assim acomodar uma variabilidade, que pode ser ou não estruturada, não prescrita pelo modelo. De forma geral a especificação dos modelos de efeitos aleatórios segue uma especificação hierárquica

$$Y_{ij} \mid b_i, X_{ij} \sim D(\mu_{ij}, \phi)$$

$$g(\mu_{ij}) = X_{ij}\beta + Z_i b_i$$

$$b \sim K(\Theta_b)$$
(2.15)

para $i=1,2,\cdots,m$ (grupos com efeitos aleatórios comuns) e $j=1,2,\cdots,n$ (observações) com $D(\mu_{ij},\phi)$, uma distribuição considerada para as variáveis resposta condicionalmente independentes, $g(\mu_{ij})$ uma função de ligação conforme definada na teoria dos MLG's, X_{ij} e Z_i as vetores conhecidos representando os efeitos das covariáveis de interesse, b_i uma quantidade aleatória provida de uma distribuição $K(\Theta_b)$. Note que nesses modelos uma quantidade aleatória é somada ao preditor linear, diferentemente dos modelos de efeitos fixos e a partir desta quantidade é possível induzir um comportamento correlato entre as observações.

Como temos duas quantidades aleatórias no modelo, $Y \mid X$ e b, a verossimilhança para um modelo de efeito aleatório é dada integrando-se os efeitos aleatórios

$$\mathcal{L}(\beta, \phi, \Theta_b \mid \underline{y}) = \prod_{i=1}^m \int_{\mathbb{R}^q} \left(\prod_{j=1}^{n_i} f_D(y_{ij}, \mu, b_i) \right) \cdot f_K(b \mid \Theta_b) db_i$$
 (2.16)

Perceba que na avaliação da verossimilhança é necessário o cálculo de m integrais de dimensão q. Para muitos casos essa integral não tem forma analítica sendo necessários

métodos númericos de aproximação, que são discutidos na seção 3.2. E as estimativas de máxima verossimilhança são

$$\hat{\Theta} = (\hat{\beta}, \hat{\Theta_b}) = \underset{(\beta, \Theta_b)}{\arg \max} \log(\mathcal{L}(\beta, \phi, \Theta_b \mid \underline{y}))$$

note que no processo de estimação dos modelos de efeitos aleatórios, métodos numéricos são intensivamente utilizados, pois a cada iteração do algoritmo de maximização da log-verossimilhança m integrais de dimensão q são aproximadas, ou seja, métodos de aproximação de integrais são utilizados concomitantemente ao método de maximização.

Em modelos de contagem de efeitos mistos é comum adotar como distribuição para os efeitos aleatórios uma Normal q-variada com média 0 e matriz de variância e covariâncias Σ , ou seja, na especificação $2.15~{\rm K}(\Theta_b)=NMV_q(0,\Sigma)$. Para estes casos os principais métodos de aproximação da integral tem desempenhos melhores (??).

Como mencionado anteriormente modelos de efeitos aleatórios são candidatos a modelagem de dados superdispersos. Quando não há uma estrutura de delineamento experimental ou observacional pode-se incluir efeitos aleatórios a nível de observação (e então m=n, ou seja, os vetores Y e b tem mesma dimensão). Casos particulares de modelos de efeitos aleatórios, onde o efeito aleatório é adiciona a nível de observação são o modelo Binomial Negativo e o *Inverse Gaussian Model*, em ambos os casos a integral, definida em 2.16 tem solução analítica e consequentemente a marginal em Y forma fechada.

3 Material e Métodos

Essa seção é destinada a apresentação dos conjuntos de dados analisados no trabalho, descrição dos recursos computacionais e métodos utilizados na análise. Na seção 3.1.1 os conjuntos de dados seão apresentados, ao todo são seis conjuntos de dados com diferentes características. Os recursos computacionais utilizados são descritos na seção 3.1.2. E na última seção 3.2 deste capítulo são apresentados os métodos para ajuste e comparação dos modelos alternativos propostos.

3.1 Materias

3.1.1 Conjuntos de dados

A seguir são apresentados os seis conjuntos de dados analisados com os modelos alternativos propostos. Os dados em estudo são, quase em sua totalidade, resultantes de experimentos agronômicos com delineamentos balanceados o que é uma característica desejável, haja visto que o principal interesse é a avaliação do desempenho do modelo COM-Poisson quando empregado a análise desses dados.

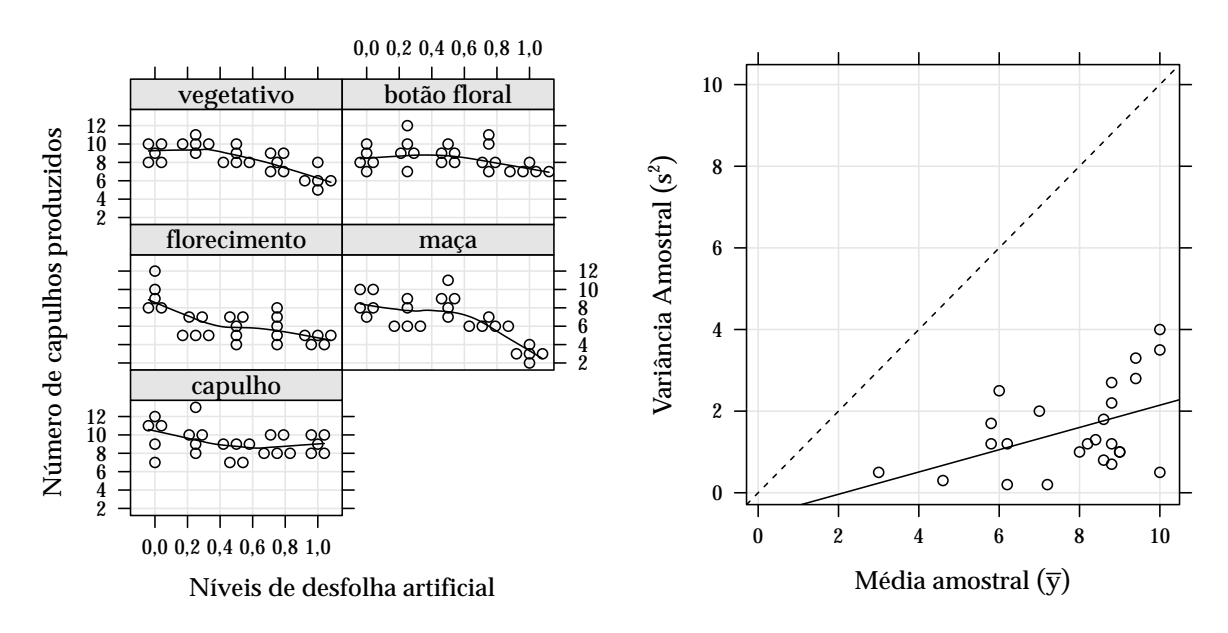
A apresentação dos conjuntos segue a ordem de 1) descrição do experimento ou estudo em destaque, 2) definição das variáveis e suas unidades de medidas e 3) descrição de suas características potencialmente contempladas por modelos alternativos ao Poisson.

3.1.1.1 Capulhos de Algodão em Sob Efeito de Desfolha Artificial

Experimento conduzido sob delineamento interamente casualizado com cinco repetições em casa de vegetação com plantas de algodão *Gossypium hirsutum* submetidas à diferentes níveis de desfolha artificial de remoção foliar (0, 25, 50, 75, 100%), em combinação com o estágio fenológico no qual a desfolha foi aplicada (vegetativo, botão floral, florecimento, maça, capulho). A unidade experimental foi um vaso com duas plantas onde avaliou-se o número de capulhos produzidos ao final da ciclo cultura (??, ?? apud ??, ??). O experimento contou com 125 observações das quais temos as informações das variáveis.

Esse conjunto de dados já fora publicado sob a motivação da característica de subdispersão, na ocasião o modelo proposto na análise foi o *Gamma-Count*. Na ??, apresenta-se os dados do experimento, à esquerda temos a disposição das cinco observações em cada tratamento (combinação de nível de desfolha e estágio fenológico do algodão) e à direita um outro gráfico descritivo cruzando médias e variâncias

amostrais calculadas em cada tratamento, a linha pontilhada neste caso representa a característica de equidispersão. Note que em todos os tratamentos obteve-se a média menor que a variância apontando evidência de subdispersão.



Fonte: Traduzido de Zeviani et al. (Figura 2)

Figura 10 – (Esquerda) Número de capulhos produzidos para cada nível de desfolha e estágio fenológico. (Direita) Variância versus média amostral de cada uma das cinco repetições em cada combinação de nível de desfolha e estágio fenológico

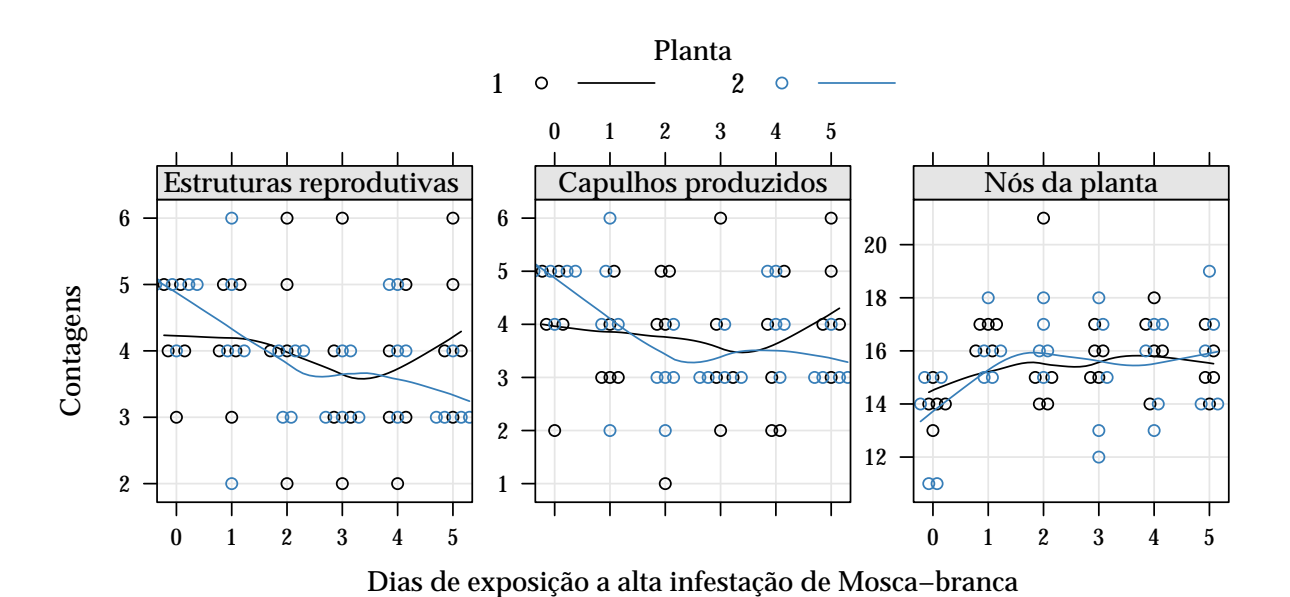
3.1.1.2 Avaliação da Exposição à Mosca-branca na produção da cultura de algodão

Experimento conduzido na Universidade Federal da Grande Dourados (UFGD) em 2007, cujo objetivo foi avaliar os impactos da exposição de plantas à alta infestação de Mosca-Branca *Bemisia tabaci* em componentes de produção do algodão ¹. No experimento, plantas de algodão foram expostas à alta infestação da praga por períodos diferentes e ao final avaliou-se o número de capulhos produzidos, o número de estruturas reprodutivas, o número de nós, a altura da planta e o peso dos capulhos por vaso. A condução do estudo deu-se via delineamento interamente casualizado com cinco vasos, contendo duas plantas, para cada período de exposição. Na figura 11 apresentamos a disposição de cada uma das variáveis aleatórias de contagem número de estruturas reprodutivas, número de capulhos produzidos e número de nós da planta para os diferentes períodos em que as plantas estavam sob alta infestação de Mosca-branca. Notamos que para todas as contagens parece que há um comportamento subdisperso.

¹ Experimento ainda não publicado.

3.1. Materias 37

A indicação de subdispersão também se observa na tabela 2, cujo temos as médias e variâncias amostrais calculadas com as observações nos seis períodos de exposição à infestação de Mosca-branca. Note que nesse experimento também há indícios de subdispersão para todas as contagens realizados no experimento, ainda a manisfestação de subdispersão na contagem do número de nós da planta é mais expressiva.



Fonte: Elaborado pelo autor.

Figura 11 – Disposição das variáveis de contagem nº de estruturas reprodutivas, nº de capulhos produzidos e nº de nós da planta observadas sob diferentes dias de exposição à infestação de Mosca-branca

Tabela 2 – Médias e variâncias amostras das contagens avaliadas no experimento de capulhos de algodão sob efeito de Mosca-Branca

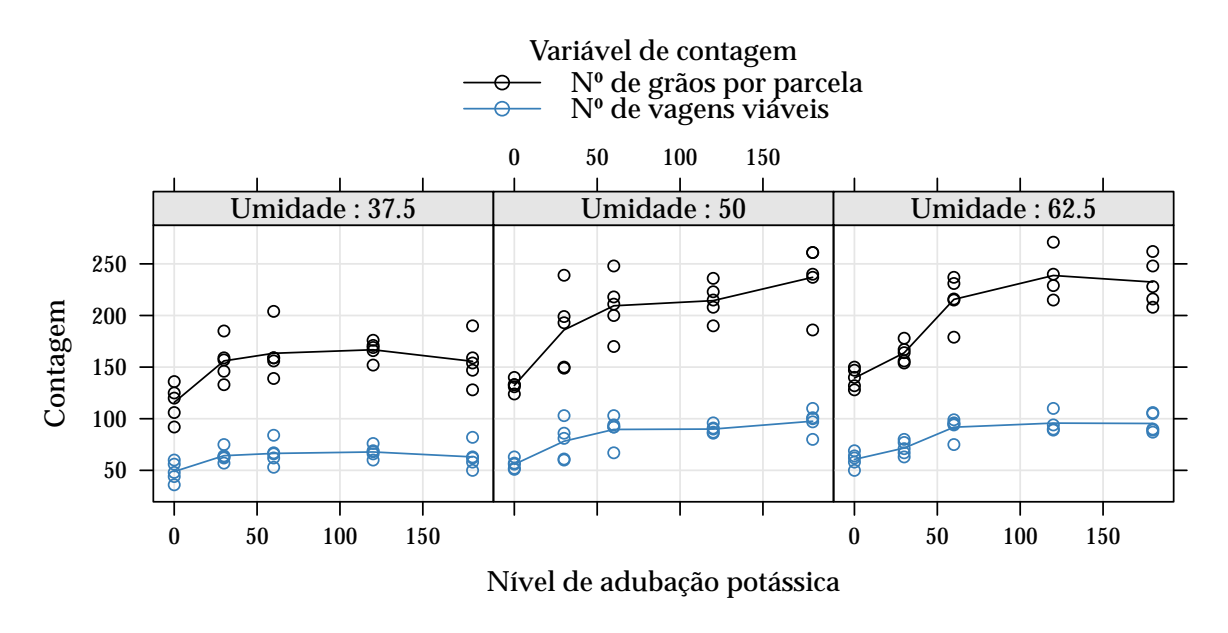
Dias de	N. Estruturas		N. C	apulhos	N. Nós	
Exposição	média	variância	média	variância	média	variância
0	4,50	0,50	4,40	0,93	13,60	2,27
1	4,20	1,29	3,90	1,43	16,30	0,90
2	3,90	1,21	3,40	1,60	16,10	4,54
3	3,50	1,17	3,40	1,16	15,40	3,38
4	3,80	1,07	3,70	1,34	15,80	2,62
5	3,80	1,07	3,80	1,07	15 <i>,</i> 70	2,68

Fonte: Elaborado pelo autor.

3.1.1.3 Avaliação de Umidade do Solo e Doses de Potássio na Cultura da Soja

Experimento fatorial 5×3 que estudou níveis de adubação potássica e níveis de umidade do solo nos componentes de produção da soja. O experimento foi instalado

em casa de vegetação no delineamento de blocos casualizados completos e a unidade experimental foi um vaso com duas plantas de soja. No experimento foram medidas várias respostas, sendo que o número de vagens por vaso e o número de grãos por vaso foram as variáveis de contagem (citar o artigo do experimento).



Fonte: Elaborado pelo autor.

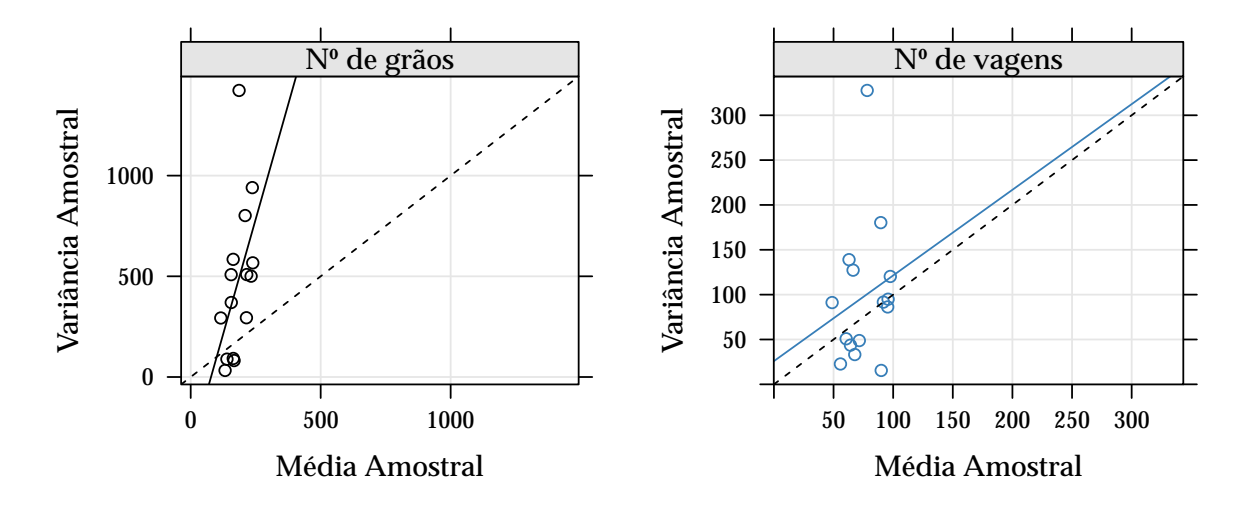
Figura 12 – Disposição das variáveis de contagem nº de grãos e nº de vagens viáveis por parcela observadas no experimento com a cultura de soja

Na figura 12 apresentamos a dispersão das contagens nas combinações das covariáveis umidade do solo e adubação potássica. Perceba que as duas variáveis de contagem avaliadas no experimento apresentam níveis de dispersão distintos, essa característica fica explícita na figura 13, em que apresentamos as dispersões entre médias e variâncias amostrais para cada uma das variáveis de contagem. Para o número de grãos por parcela, com contagens mais elevadas, as variâncias amostrais são, quase em sua totalidade, superiores as médias caracterizando uma evidência de superdispersão. Já para o número de vagens por parcela temos médias e variâncias, em média, próximas o que é indícia que a suposição de equidispersão é razoável.

3.1.1.4 Ocorrência de Ninfas de Mosca-Branca em Lavoura de Soja

Nesse experimento também envolvendo a cultura de soja e a praga Mosca-branca, foram avaliadas plantas de diferentes cultivares de soja BRS - Embrapa contabilizando o número de ninfas de mosca-branca nos folíolos dos terços superior, médio e inferior das plantas. O experimento foi conduzido em casa de vegetação sob o delineamento de blocos casualizados e as avaliações ocorreram em 6 datas dentre os 38 dias do estudo citar a dissertação do Renato.

3.1. Materias



Fonte: Elaborado pelo autor.

Figura 13 – Médias e variâncias amostrais das contagens avaliadas no experimento com cultura de soja sob efeito umidade e adubação potássica

Na figura 14, à esquerda apresentamos as contagens da praga para cada cultivar em cada uma das datas de avaliação. Note que as contagens são muito altas e deveras dispersas, principalmente nas quatro primeiras avaliações, à direita temos uma descrição no nível de dispersão da variável de contagem. Perceba que esse é um conjunto de dados extremamente superdisperso, os pontos, que representam em médias e variâncias em cada combinação de dias de após a primeira avaliação e cultivares de soja, estão todos acima da reta identidade (equidispersão) com variâncias em torno de 1.000 vezes maiores que as respectivas médias.

3.1.1.5 Peixes Capturados por Pescadores em um Parque Estadual

Esse, diferentemente dos demais, é um estudo observavional feito por biólogos que tem intresse em modelar o número de peixes capturados por grupos de pescadores visitantes em um Parque Estadual **citar o livro do J. Scott Long**. Nesse estudo tem-se como informações a respeito dos grupos de visitantes o número de pessoas e de crianças no grupo e se há ou não a presença de campista. Um fato interesse deste dado é que nem todos os grupos de visitantes praticaram pescaria e portanto o número de peixes capturado será zero.

Na figura 15 também pode-se notar ser evidente a presença excessiva de contagens zero. No gráfico a esquerda apresentamos a disposição das contagens, transformadas por $\log(y_i|x_i+0.5)$, e é característica marcante no gráfico a grande quantidade de pontos dispostos no primeiro valor do eixo y, -0, $693 = \log(0.5)$. Embora seja um gráfico marginal, não considerando as covariáveis de cada contagem, a direita temos um

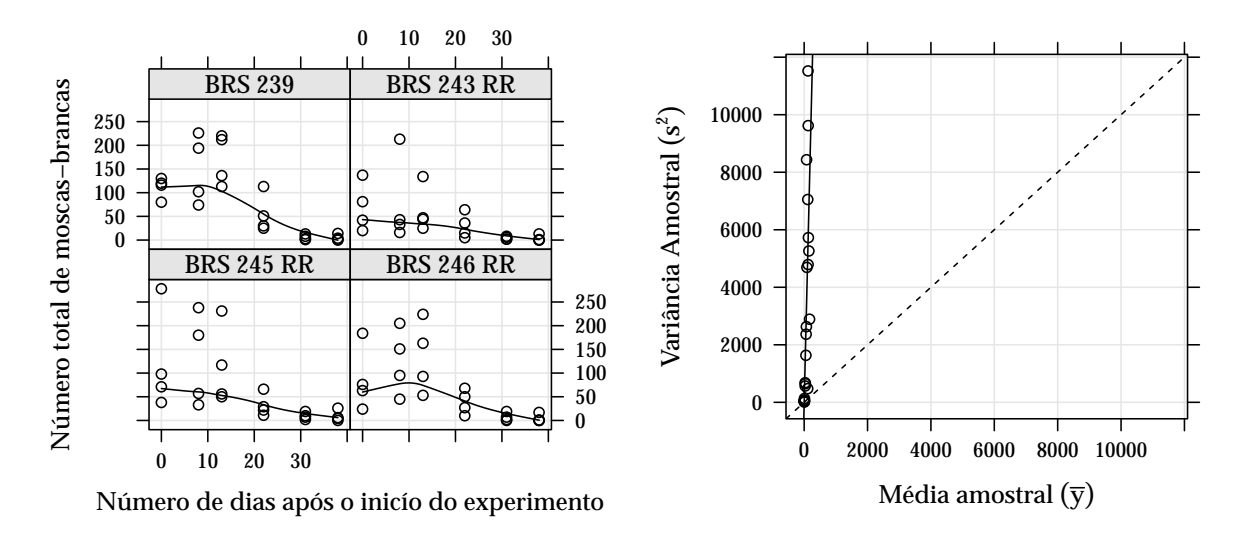


Figura 14 – (Esquerda)

histograma da variável resposta onde percebe-se novamente a grande quantidade de valores nulos, ao todo 56,8% dos dados são contagens nulas. Portanto nesse problema claramente modelos alternativos que acomodem excesso de zeros se fazem necessários.

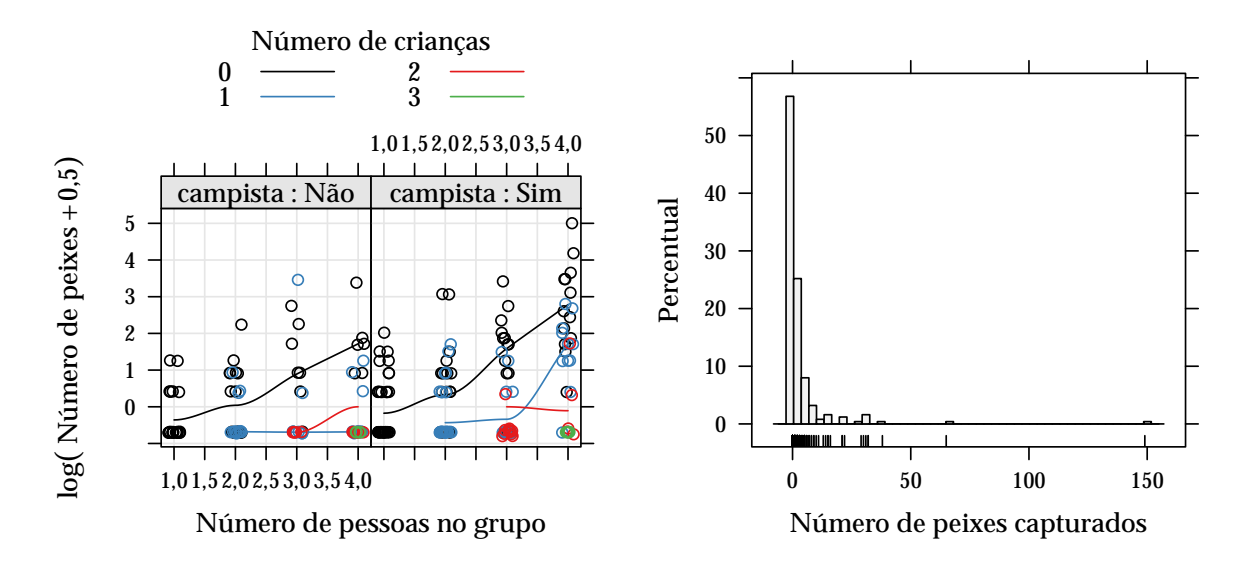


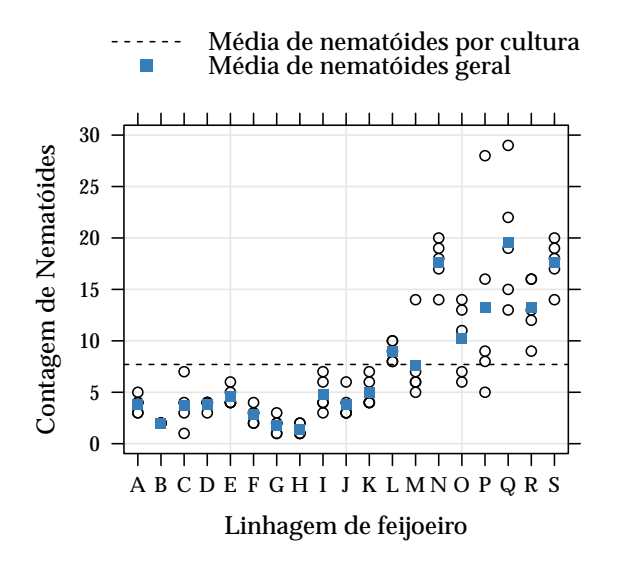
Figura 15 – (Esquerda) Logarítmo neperiano do Número de peixes capturados acrescido de 0,5 para as diferentes formulações dos grupos. (Direita) Histograma da variável de contagem número de peixes capturados por grupo.

3.1.1.6 Número de Nematóides em Raízes de Feijoeiro

Este último conjunto de dados explorado no trabalho, são resultados de um experimento em casa de vegetação que estudou a reprodução de nematóides em cul-

3.1. *Materias* 41

tivares/linhagens de feijoeiro. O solo dos vasos foi inicialmente contaminado com namatóides e as parcelas tiveram duas plantas. Ao final do experimento, as raízes das duas plantas por parcela foram lavadas, trituradas, peneiradas e diluídas e as contagens dos nematóides realizadas em alíquotas dessa solução. Perceba que temos, incidindo sobre a contagem a quantidade de raízes produzidas por parcela e ainda o volume usado para diluir essa quantidade, pois as contagens são realizades em alíquotas da solução composta pela razão entre massa fresca de raízes (em gramas) e volume utilizado para diluição (em milimetros).



Fonte: Elaborado pelo autor.

Figura 16 – Dispersão do número de nematóides em uma alíquota de 1ml provida pela solução de 1 g/ml de massa fresca diluída.

Na figura 16 apresentamos a dispersão das contagens de nematóides em uma alíquota de 1 ml da solução composta de uma grama de massa fresca de raíz por um milímetro de água. Note que as contagens para cada uma das culturas se distribuem em torno do perfil médio (linha pontilhada). Um detalhe interesse desse conjunto de dados é que as linhagens de feijoeiro avaliadas não foram escolhas subjetivas, pode-se interpretar as linhagens escolhidas como um sorteio aleatório dentre uma população de linhagens de feijoeiro. Assim esse experimento pode ser rotulado como um experimento de medidas repetidas, caso comum nas aplicações de modelos de efeitos aleatórios.

3.1.2 Recursos computacionais

O *software* R, versão 3.3.0, é utilizado tanto para a preparação e apresenta-

ção dos dados quanto para ajuste dos modelos e apresentação de resultados. Pacotes auxiliares utilizados no trabalho são: MASS (versão 7.3.45) para ajuste e inferências dos modelos Binomial Negativo,bbmle (versão 1.0.18) para estimação via máxima verossimilhança das funções implementadas para o modelo COM-Poisson , psc1 (versão 1.4.9) para ajuste dos modelos Poisson e Binomial Negativo com componente de barreira para modelagem de excesso de zeros e lme4 (versão 1.1.12) para ajuste dos modelos Poisson com efeitos aleatórios normais. Para apresentação gráfica dos resultados os pacotes lattice (versão 0.20.33), latticeExtra (versão 0.6.28) e corrplot (versão 0.73) são intensivamente utilizados e finalmente para elaboração do relatório, mesclando

códigos em R e escrita na liguagem de marcação LATEX, o pacote knitr (versão 1.12.3) é requisitado.

Destaca-se nesse trabalho que todas as funções implementadas para ajuste e inferência dos modelos de regressão COM-Poisson estão disponíveis, em formato de um pacote R tccPackage, no endereço https://github.com/jreduardo/tccPackage. No capítulo 4 destacamos as chamadas de algumas funções e no apêndice A mostramos o emprego do pacote na análise de dois conjuntos de dados exibidos no trabalho.

3.2 Métodos

Lorem ipsum dolor sit amet, consectetuer adipiscing elit. Ut purus elit, vestibulum ut, placerat ac, adipiscing vitae, felis. Curabitur dictum gravida mauris. Nam arcu libero, nonummy eget, consectetuer id, vulputate a, magna. Donec vehicula augue eu neque. Pellentesque habitant morbi tristique senectus et netus et malesuada fames ac turpis egestas. Mauris ut leo. Cras viverra metus rhoncus sem. Nulla et lectus vestibulum urna fringilla ultrices. Phasellus eu tellus sit amet tortor gravida placerat. Integer sapien est, iaculis in, pretium quis, viverra ac, nunc. Praesent eget sem vel leo ultrices bibendum. Aenean faucibus. Morbi dolor nulla, malesuada eu, pulvinar at, mollis ac, nulla. Curabitur auctor semper nulla. Donec varius orci eget risus. Duis nibh mi, congue eu, accumsan eleifend, sagittis quis, diam. Duis eget orci sit amet orci dignissim rutrum.

Nam dui ligula, fringilla a, euismod sodales, sollicitudin vel, wisi. Morbi auctor lorem non justo. Nam lacus libero, pretium at, lobortis vitae, ultricies et, tellus. Donec aliquet, tortor sed accumsan bibendum, erat ligula aliquet magna, vitae ornare odio metus a mi. Morbi ac orci et nisl hendrerit mollis. Suspendisse ut massa. Cras nec ante. Pellentesque a nulla. Cum sociis natoque penatibus et magnis dis parturient montes, nascetur ridiculus mus. Aliquam tincidunt urna. Nulla ullamcorper vestibulum turpis. Pellentesque cursus luctus mauris.

Nulla malesuada porttitor diam. Donec felis erat, congue non, volutpat at, tincidunt tristique, libero. Vivamus viverra fermentum felis. Donec nonummy pellentesque ante. Phasellus adipiscing semper elit. Proin fermentum massa ac quam. Sed diam turpis, molestie vitae, placerat a, molestie nec, leo. Maecenas lacinia. Nam ipsum ligula, eleifend at, accumsan nec, suscipit a, ipsum. Morbi blandit ligula feugiat magna. Nunc eleifend consequat lorem. Sed lacinia nulla vitae enim. Pellentesque tincidunt purus vel magna. Integer non enim. Praesent euismod nunc eu purus. Donec bibendum quam in tellus. Nullam cursus pulvinar lectus. Donec et mi. Nam vulputate metus eu enim. Vestibulum pellentesque felis eu massa.

Quisque ullamcorper placerat ipsum. Cras nibh. Morbi vel justo vitae lacus tincidunt ultrices. Lorem ipsum dolor sit amet, consectetuer adipiscing elit. In hac habi-

3.2. Métodos 43

tasse platea dictumst. Integer tempus convallis augue. Etiam facilisis. Nunc elementum fermentum wisi. Aenean placerat. Ut imperdiet, enim sed gravida sollicitudin, felis odio placerat quam, ac pulvinar elit purus eget enim. Nunc vitae tortor. Proin tempus nibh sit amet nisl. Vivamus quis tortor vitae risus porta vehicula.

Fusce mauris. Vestibulum luctus nibh at lectus. Sed bibendum, nulla a faucibus semper, leo velit ultricies tellus, ac venenatis arcu wisi vel nisl. Vestibulum diam. Aliquam pellentesque, augue quis sagittis posuere, turpis lacus congue quam, in hendrerit risus eros eget felis. Maecenas eget erat in sapien mattis porttitor. Vestibulum porttitor. Nulla facilisi. Sed a turpis eu lacus commodo facilisis. Morbi fringilla, wisi in dignissim interdum, justo lectus sagittis dui, et vehicula libero dui cursus dui. Mauris tempor ligula sed lacus. Duis cursus enim ut augue. Cras ac magna. Cras nulla. Nulla egestas. Curabitur a leo. Quisque egestas wisi eget nunc. Nam feugiat lacus vel est. Curabitur consectetuer.

4 Resultados e Discussão

Nesse capítulo são apresentados os modelos de regressão COM-Poisson ajustados aos dados apresentados na seção 3.1.1.

4.1 Análise de dados de capulhos de algodão sob efeito de desfolha

Diante da estrutura do experimento apresentada na seção 3.1.1.1 foram propostos, por ??), cinco preditores crescentes em complexidade que testam aspectos interesses sobre os fatores experimentais envolvidos no experimento. Abaixo expressamos os cinco preditores considerados.

```
Preditor 1: g(\mu) = \beta_0
```

Preditor 2: $g(\mu) = \beta_0 + \beta_1 \text{def}$

Preditor 3: $g(\mu) = \beta_0 + \beta_{1j} \operatorname{def} + \beta_2 \operatorname{def}^2$

Preditor 3: $g(\mu) = \beta_0 + \beta_{1i} \operatorname{def} + \beta_{2i} \operatorname{def}^2$

onde *j* varia nos níveis de estágio fenológico da planta (vegetativo, botão floral, florecimento, maça, capulho). A proposta desses preditores foi realizada de forma aninhada a fim de facilitar a condução de testes de hipóteses. O modelo 1 contêm apenas o intercepto, e é ajustado apenas como ponto de partida para verificar como modelos mais estruturados melhoram o ajuste. O modelo 2 apresenta apenas o efeito de desfolha de forma linear, o modelo 3 é o modelo 2 somado um efeito de segunda ordem. O modelo 4, apresenta o efeito de desfolha linear mudando de acordo com o estágio de crescimento, e por fim o modelo 5 diz que não somente o efeito de primeira ordem muda com o estágio de crescimento, mais também o efeito de segunda ordem.

A seguir ajustamos os modelos Poisson e COM-Poisson como alternativas paramétricas à análise de dados e como alternativa semi-paramétrica a estimação via quase-verossimilhança Poisson. Na tabela 3 apresentamos os resultados dos três modelos ajustados aos cinco preditores considerados. O modelo COM-Poisson apresentou melhor desempenho dentre todos os preditores considerados quando comparado ao Poisson, indicado pelas maiores log-verossimilhanças e menores AIC's.

As estimativas dos parâmetros extras phi e $sigma^2$ dos modelos COM-Poisson e Quasi-Poisson respectivamente, também são apresentadas na 3 e indicam subdispersão ($\phi>0$ e $\sigma^2<1$). Note que mesmo quando não consideramos covariáveis, preditor 1, a hipótese de equidispersão foi rejeitada pelo modelo COM-Poisson.

Lorem ipsum dolor sit amet, consectetuer adipiscing elit. Ut purus elit, vestibu-

Tabela 3 – Medidas de ajuste para	avaliação e comparação entre preditores e modelos
ajustados	-

Poisson	np	ℓ	AIC	$2(\text{diff }\ell)$	diff np	$P(>\chi^2)$		
Preditor 1	1	-279,933	561,866					
Preditor 2	2	-272,001	548,001	15,864	1	6,805E-05		
Preditor 3	3	-271,354	548,709	1,293	1	2,556E-01		
Preditor 4	7	-258,674	531,348	25,360	4	4,258E-05		
Preditor 5	11	-255,803	533,606	5,742	4	2,193E-01		
COM-Poisson	np	ℓ	AIC	$2(\text{diff }\ell)$	diff np	$P(>\chi^2)$	$\hat{\phi}$	$P(>\chi^2)$
Preditor 1	2	-272,479	548,959				0,551	1,130E-04
Preditor 2	3	-257,464	520,927	30,032	1	4,251E-08	0,794	6,966E-08
Preditor 3	4	-256,089	520,179	2,749	1	9,734E-02	0,816	3,287E-08
Preditor 4	8	-220,198	456,395	71,783	4	9,537E-15	1,392	1,751E-18
Preditor 5	12	-208,250	440,500	23,896	4	8,382E-05	1,585	1,804E-22
Quase-Poisson	np	deviance	AIC	F	diff np	P(>F)	$\hat{\sigma}^2$	P(>F)
Preditor 1	1	75,514					0,567	
Preditor 2	2	59,650		65,820	1	6,343E-13	0,464	
Preditor 3	3	58,357		5,363	1	2,236E-02	0,460	
Preditor 4	7	32,997		26,305	4	1,846E-15	0,278	
Preditor 5	11	27,255		5,956	4	2,176E-04	0,241	

np, número de parâmetros, diff ℓ , diferença entre log-verossimilhanças, F, estatística F baseada nas quasi-deviances, diff np, diferença entre o np.

Fonte: Elaborado pelo autor.

lum ut, placerat ac, adipiscing vitae, felis. Curabitur dictum gravida mauris. Nam arcu libero, nonummy eget, consectetuer id, vulputate a, magna. Donec vehicula augue eu neque. Pellentesque habitant morbi tristique senectus et netus et malesuada fames ac turpis egestas. Mauris ut leo. Cras viverra metus rhoncus sem. Nulla et lectus vestibulum urna fringilla ultrices. Phasellus eu tellus sit amet tortor gravida placerat. Integer sapien est, iaculis in, pretium quis, viverra ac, nunc. Praesent eget sem vel leo ultrices bibendum. Aenean faucibus. Morbi dolor nulla, malesuada eu, pulvinar at, mollis ac, nulla. Curabitur auctor semper nulla. Donec varius orci eget risus. Duis nibh mi, congue eu, accumsan eleifend, sagittis quis, diam. Duis eget orci sit amet orci dignissim rutrum.

Lorem ipsum dolor sit amet, consectetuer adipiscing elit. Ut purus elit, vestibulum ut, placerat ac, adipiscing vitae, felis. Curabitur dictum gravida mauris. Nam arcu libero, nonummy eget, consectetuer id, vulputate a, magna. Donec vehicula augue eu neque. Pellentesque habitant morbi tristique senectus et netus et malesuada fames ac turpis egestas. Mauris ut leo. Cras viverra metus rhoncus sem. Nulla et lectus vestibulum urna fringilla ultrices. Phasellus eu tellus sit amet tortor gravida placerat. Integer sapien est, iaculis in, pretium quis, viverra ac, nunc. Praesent eget sem vel leo ultrices bibendum. Aenean faucibus. Morbi dolor nulla, malesuada eu, pulvinar at, mollis ac,

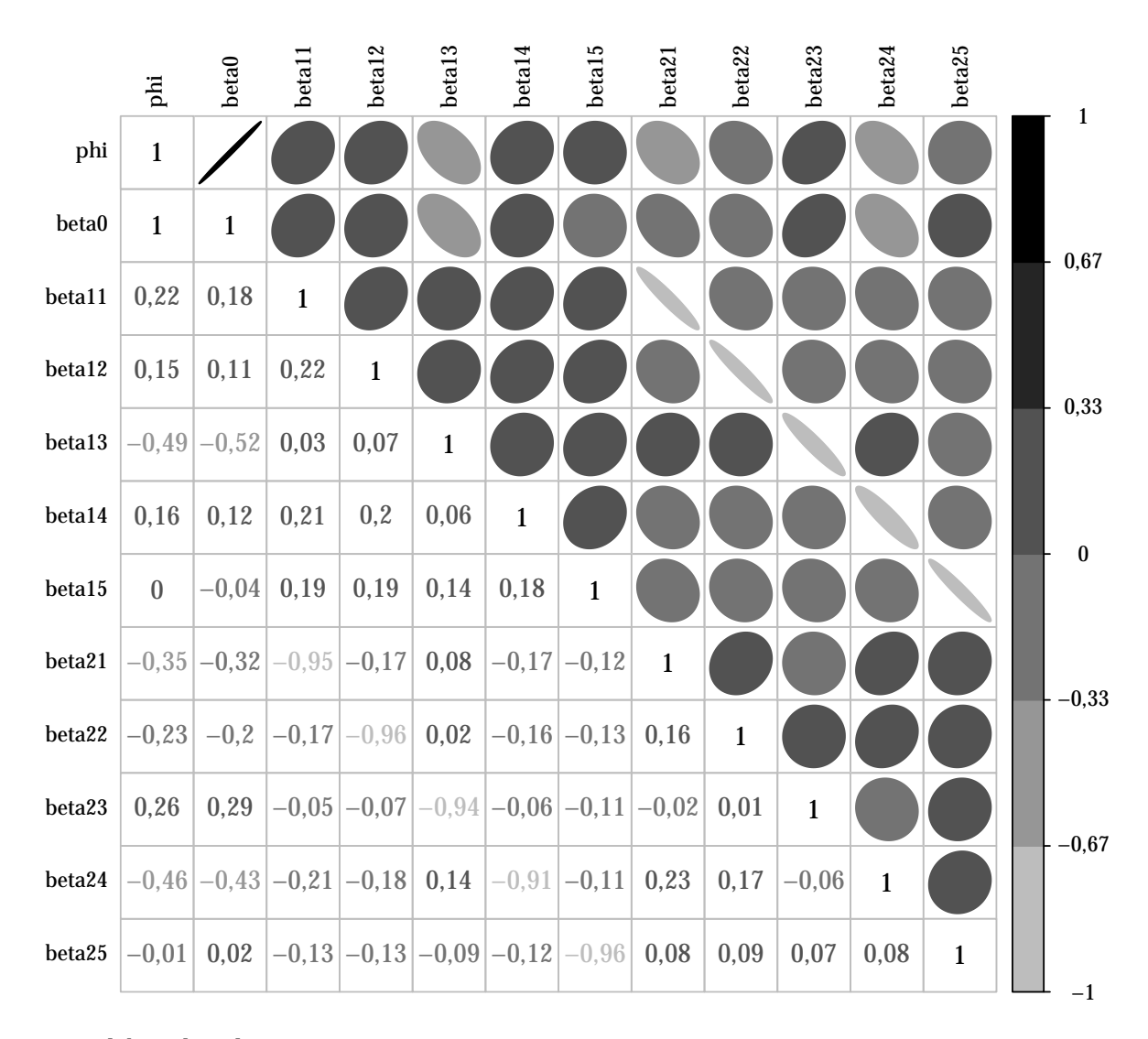


Figura 18 – Imagem da matriz de correlação entre os parâmetros do modelo COM-Poisson

nulla. Curabitur auctor semper nulla. Donec varius orci eget risus. Duis nibh mi, congue eu, accumsan eleifend, sagittis quis, diam. Duis eget orci sit amet orci dignissim rutrum.

Lorem ipsum dolor sit amet, consectetuer adipiscing elit. Ut purus elit, vestibulum ut, placerat ac, adipiscing vitae, felis. Curabitur dictum gravida mauris. Nam arcu libero, nonummy eget, consectetuer id, vulputate a, magna. Donec vehicula augue eu neque. Pellentesque habitant morbi tristique senectus et netus et malesuada fames ac turpis egestas. Mauris ut leo. Cras viverra metus rhoncus sem. Nulla et lectus vestibulum urna fringilla ultrices. Phasellus eu tellus sit amet tortor gravida placerat. Integer sapien est, iaculis in, pretium quis, viverra ac, nunc. Praesent eget sem vel leo ultrices bibendum. Aenean faucibus. Morbi dolor nulla, malesuada eu, pulvinar at, mollis ac,

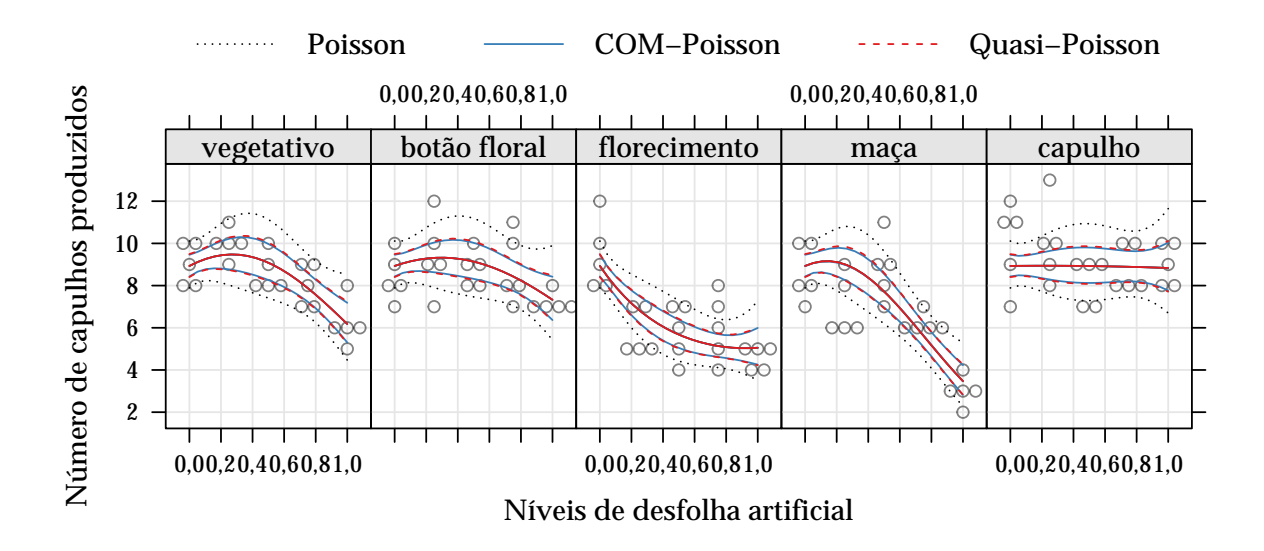


Figura 19 – Curva dos valores preditos com intervalo de confiança de (95%) como função do nível de desfolha e do estágio fenológico da planta.

nulla. Curabitur auctor semper nulla. Donec varius orci eget risus. Duis nibh mi, congue eu, accumsan eleifend, sagittis quis, diam. Duis eget orci sit amet orci dignissim rutrum.

4.2 Análise de dados de capulhos de algodão sob efeito de Mosca-Branca

Lorem ipsum dolor sit amet, consectetuer adipiscing elit. Ut purus elit, vestibulum ut, placerat ac, adipiscing vitae, felis. Curabitur dictum gravida mauris. Nam arcu libero, nonummy eget, consectetuer id, vulputate a, magna. Donec vehicula augue eu neque. Pellentesque habitant morbi tristique senectus et netus et malesuada fames ac turpis egestas. Mauris ut leo. Cras viverra metus rhoncus sem. Nulla et lectus vestibulum urna fringilla ultrices. Phasellus eu tellus sit amet tortor gravida placerat. Integer sapien est, iaculis in, pretium quis, viverra ac, nunc. Praesent eget sem vel leo ultrices bibendum. Aenean faucibus. Morbi dolor nulla, malesuada eu, pulvinar at, mollis ac, nulla. Curabitur auctor semper nulla. Donec varius orci eget risus. Duis nibh mi, congue eu, accumsan eleifend, sagittis quis, diam. Duis eget orci sit amet orci dignissim rutrum.

Lorem ipsum dolor sit amet, consectetuer adipiscing elit. Ut purus elit, vestibulum ut, placerat ac, adipiscing vitae, felis. Curabitur dictum gravida mauris. Nam arcu libero, nonummy eget, consectetuer id, vulputate a, magna. Donec vehicula augue eu neque. Pellentesque habitant morbi tristique senectus et netus et malesuada fames ac turpis egestas. Mauris ut leo. Cras viverra metus rhoncus sem. Nulla et lectus vestibulum urna fringilla ultrices. Phasellus eu tellus sit amet tortor gravida placerat. Integer

Tabela 4 – Medidas de ajuste para avaliação e comparação entre preditores e modelos ajustados

	Poisson			Poisson COM-Poisson			Quasi-Poisson	
np	ℓ	AIC	$P(>\chi^2)$	ℓ	AIC	$P(>\chi^2)$	deviance	P(> F)
Núme	ro de capu	lhos prod	uzidos	-				
1	-105,27	212,55		-92,05	188,09		20,80	
2	-105,03	214,05	4,83E-01	-91,31	188,62	2,25E-01	20,31	2,23E-01
3	-104,44	214,88	2,78E-01	-89,47	186,95	5,52E-02	19,13	6,16E-02
Núme	ro de estru	turas rep	rodutivas	_				
1	-104,74	211,49		-86,41	176,82		16,23	
2	-104,27	212,54	3,32E-01	-84,59	175,18	5,66E-02	15,29	6,19E-02
3	-104,06	214,12	5,16E-01	-83,73	175,47	1,90E-01	14,87	2,07E-01
Núme	Número de nós da planta							
1	-143,79	289,59		-120,58	245,16		12,69	
2	-143,48	290,95	4,25E-01	-119,03	244,06	7,87E-02	12,05	7,39E-02
3	-142,95	291,89	3,04E-01	-116,27	240,54	1,88E-02	11,00	2,23E-02

np, número de parâmetros.

Fonte: Elaborado pelo autor.

sapien est, iaculis in, pretium quis, viverra ac, nunc. Praesent eget sem vel leo ultrices bibendum. Aenean faucibus. Morbi dolor nulla, malesuada eu, pulvinar at, mollis ac, nulla. Curabitur auctor semper nulla. Donec varius orci eget risus. Duis nibh mi, congue eu, accumsan eleifend, sagittis quis, diam. Duis eget orci sit amet orci dignissim rutrum.

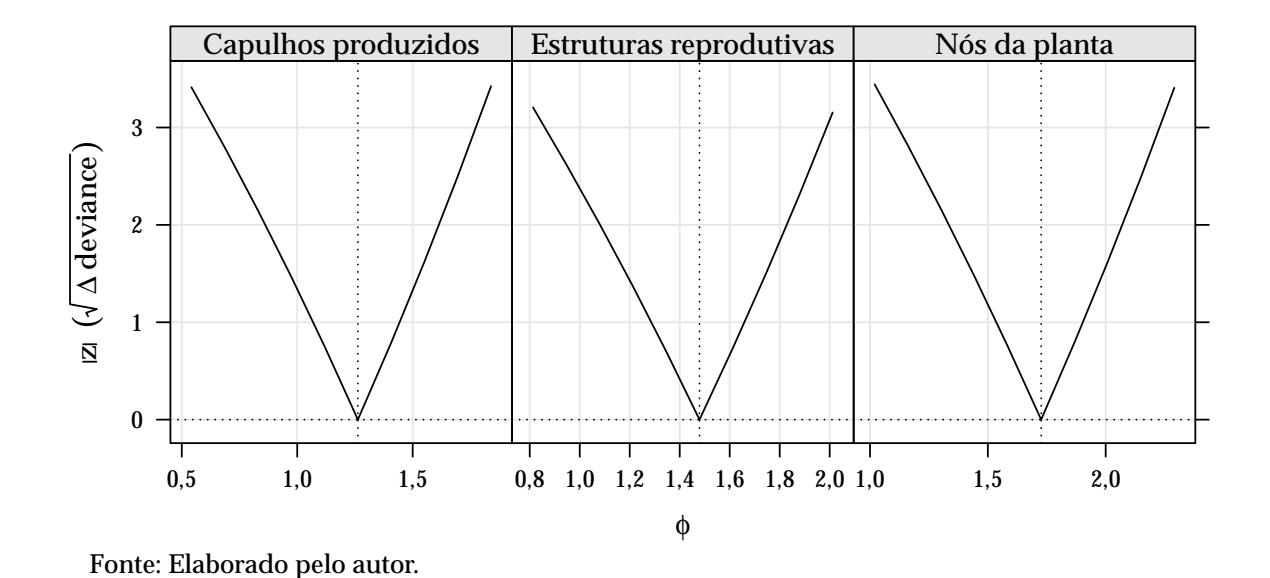


Figura 20 – Perfis de log-verossimilhança para o parâmetro extra da COM-Poisson nos modelos para número de capulhos produzidos (esquerda), número de estruturas reprodutivas (central) e número de nós (direira).

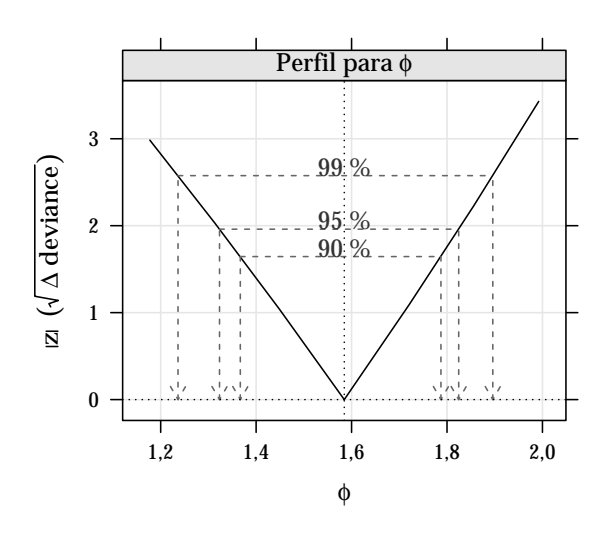
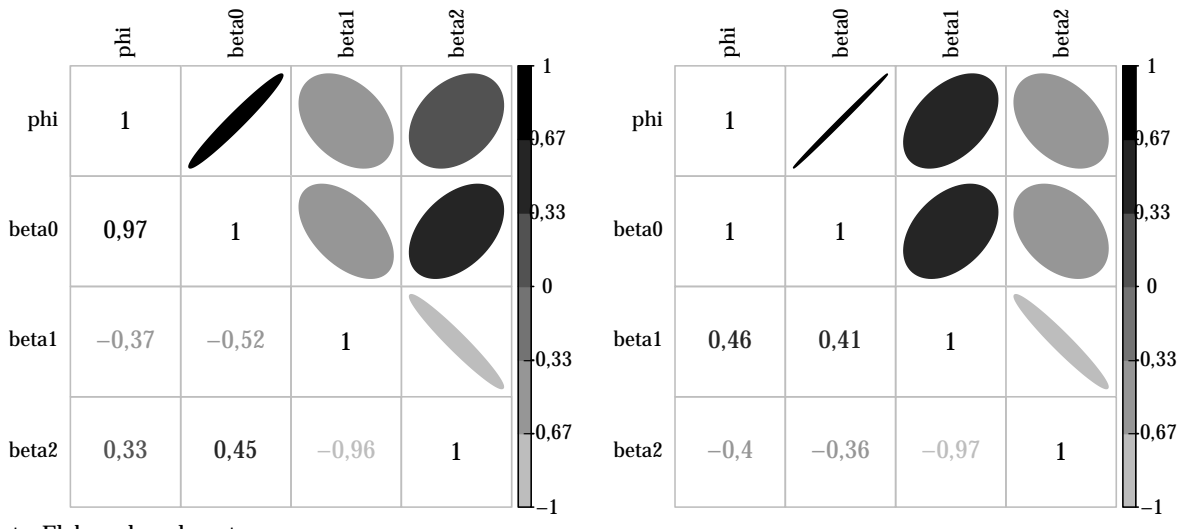


Figura 17 – Perfil de log-verossimilhança para o parâmetro extra da COM-Poisson

Lorem ipsum dolor sit amet, consectetuer adipiscing elit. Ut purus elit, vestibulum ut, placerat ac, adipiscing vitae, felis. Curabitur dictum gravida mauris. Nam arcu libero, nonummy eget, consectetuer id, vulputate a, magna. Donec vehicula augue eu neque. Pellentesque habitant morbi tristique senectus et netus et malesuada fames ac turpis egestas. Mauris ut leo. Cras viverra metus rhoncus sem. Nulla et lectus vestibulum urna fringilla ultrices. Phasellus eu tellus sit amet tortor gravida placerat. Integer sapien est, iaculis in, pretium quis, viverra ac, nunc. Praesent eget sem vel leo ultrices bibendum. Aenean faucibus. Morbi dolor nulla, malesuada eu, pulvinar at, mollis ac, nulla. Curabitur auctor semper nulla. Donec va-

rius orci eget risus. Duis nibh mi, congue eu, accumsan eleifend, sagittis quis, diam. Duis eget orci sit amet orci dignissim rutrum.

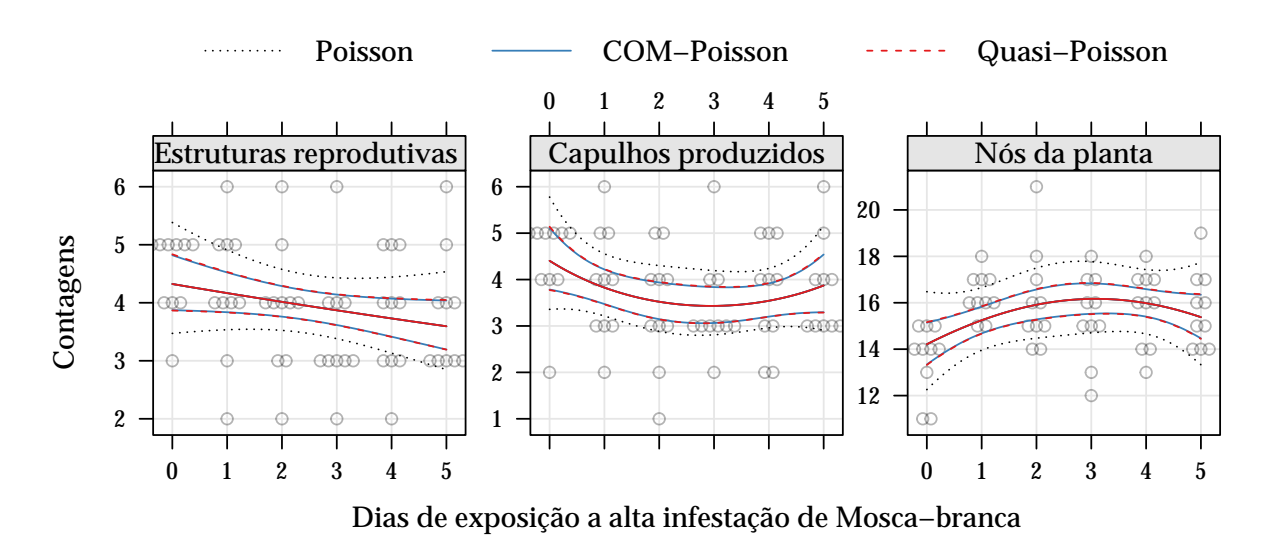


Fonte: Elaborado pelo autor.

Figura 21 – Imagem da matriz de correlação entre os parâmetros do modelo COM-Poisson

Lorem ipsum dolor sit amet, consectetuer adipiscing elit. Ut purus elit, vestibulum ut, placerat ac, adipiscing vitae, felis. Curabitur dictum gravida mauris. Nam arcu libero, nonummy eget, consectetuer id, vulputate a, magna. Donec vehicula augue eu

neque. Pellentesque habitant morbi tristique senectus et netus et malesuada fames ac turpis egestas. Mauris ut leo. Cras viverra metus rhoncus sem. Nulla et lectus vestibulum urna fringilla ultrices. Phasellus eu tellus sit amet tortor gravida placerat. Integer sapien est, iaculis in, pretium quis, viverra ac, nunc. Praesent eget sem vel leo ultrices bibendum. Aenean faucibus. Morbi dolor nulla, malesuada eu, pulvinar at, mollis ac, nulla. Curabitur auctor semper nulla. Donec varius orci eget risus. Duis nibh mi, congue eu, accumsan eleifend, sagittis quis, diam. Duis eget orci sit amet orci dignissim rutrum.



Fonte: Elaborado pelo autor.

Figura 23 – Curva dos valores preditos com intervalo de confiança de (95%) como função do nível de desfolha e do estágio fenológico da planta.

Lorem ipsum dolor sit amet, consectetuer adipiscing elit. Ut purus elit, vestibulum ut, placerat ac, adipiscing vitae, felis. Curabitur dictum gravida mauris. Nam arcu libero, nonummy eget, consectetuer id, vulputate a, magna. Donec vehicula augue eu neque. Pellentesque habitant morbi tristique senectus et netus et malesuada fames ac turpis egestas. Mauris ut leo. Cras viverra metus rhoncus sem. Nulla et lectus vestibulum urna fringilla ultrices. Phasellus eu tellus sit amet tortor gravida placerat. Integer sapien est, iaculis in, pretium quis, viverra ac, nunc. Praesent eget sem vel leo ultrices bibendum. Aenean faucibus. Morbi dolor nulla, malesuada eu, pulvinar at, mollis ac, nulla. Curabitur auctor semper nulla. Donec varius orci eget risus. Duis nibh mi, congue eu, accumsan eleifend, sagittis quis, diam. Duis eget orci sit amet orci dignissim rutrum.

4.3 Análise de produção de soja sob efeito de umidade e adubação potássica

Lorem ipsum dolor sit amet, consectetuer adipiscing elit. Ut purus elit, vestibulum ut, placerat ac, adipiscing vitae, felis. Curabitur dictum gravida mauris. Nam arcu libero, nonummy eget, consectetuer id, vulputate a, magna. Donec vehicula augue eu neque. Pellentesque habitant morbi tristique senectus et netus et malesuada fames ac turpis egestas. Mauris ut leo. Cras viverra metus rhoncus sem. Nulla et lectus vestibulum urna fringilla ultrices. Phasellus eu tellus sit amet tortor gravida placerat. Integer sapien est, iaculis in, pretium quis, viverra ac, nunc. Praesent eget sem vel leo ultrices bibendum. Aenean faucibus. Morbi dolor nulla, malesuada eu, pulvinar at, mollis ac, nulla. Curabitur auctor semper nulla. Donec varius orci eget risus. Duis nibh mi, congue eu, accumsan eleifend, sagittis quis, diam. Duis eget orci sit amet orci dignissim rutrum.

Tabela 5 – Medidas de ajuste para avaliação e comparação entre preditores e modelos ajustados

			Númer	o de vagen	s		Núme	ro de grãos	3
Poisson	np	ℓ	AIC	$P(>\chi^2)$		ℓ	AIC	$P(>\chi^2)$	
$\overline{\eta_1}$	11	-266,69	555,38			-343,16	708,33		
η_2	19	-259,62	557,23	7,79E-02		-321,67	681,34	8,83E-07	
COM-Poisson	np	ℓ	AIC	$P(>\chi^2)$	$\hat{\phi}$	ℓ	AIC	$P(>\chi^2)$	$\hat{\phi}$
$\overline{\eta_1}$	12	-266,60	557,20		-6,75E-02	-326,61	677,21		-8,17E-01
η_2	20	-259,33	558,65	6,85E-02	1,29E-01	-315,64	671,29	5,06E-03	-5,18E-01
Binomial-Neg.	np	ℓ	AIC	$P(>\chi^2)$	$\hat{\phi}$	ℓ	AIC	$P(>\chi^2)$	$\hat{\phi}$
$\overline{\eta_1}$	12	-266,69	557,37		4,59E+03	-326,54	677,07		1,42E+02
η_2	20	-259,62	559,23	7,82E-02	1,03E+06	-315,39	670,77	4,39E-03	2,61E+02
Quasi-Poisson	np	ℓ	AIC	$P(>\chi^2)$	$\hat{\phi}$	ℓ	AIC	$P(>\chi^2)$	$\hat{\phi}$
η_1	11	79,43			1,28E+00	167,71			2,71E+00
η_2	19	65,28		1,87E-01	1,20E+00	124,72		3,00E-02	2,29E+00

np, número de parâmetros. Fonte: Elaborado pelo autor.

Lorem ipsum dolor sit amet, consectetuer adipiscing elit. Ut purus elit, vestibulum ut, placerat ac, adipiscing vitae, felis. Curabitur dictum gravida mauris. Nam arcu libero, nonummy eget, consectetuer id, vulputate a, magna. Donec vehicula augue eu neque. Pellentesque habitant morbi tristique senectus et netus et malesuada fames ac turpis egestas. Mauris ut leo. Cras viverra metus rhoncus sem. Nulla et lectus vestibulum urna fringilla ultrices. Phasellus eu tellus sit amet tortor gravida placerat. Integer sapien est, iaculis in, pretium quis, viverra ac, nunc. Praesent eget sem vel leo ultrices bibendum. Aenean faucibus. Morbi dolor nulla, malesuada eu, pulvinar at, mollis ac, nulla. Curabitur auctor semper nulla. Donec varius orci eget risus. Duis nibh mi, congue eu, accumsan eleifend, sagittis quis, diam. Duis eget orci sit amet orci dignissim rutrum.

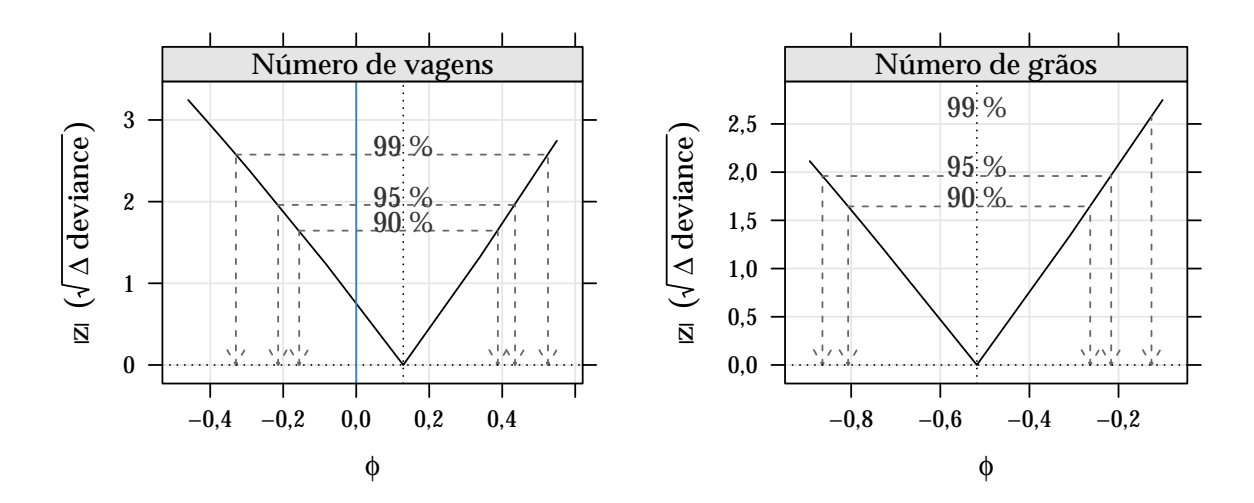


Figura 24 – Perfis de log-verossimilhança para o parâmetro extra da COM-Poisson nos modelos para número de vagens viáveis por parcela (esquerda) e número grãos de soja por parcela (direira).

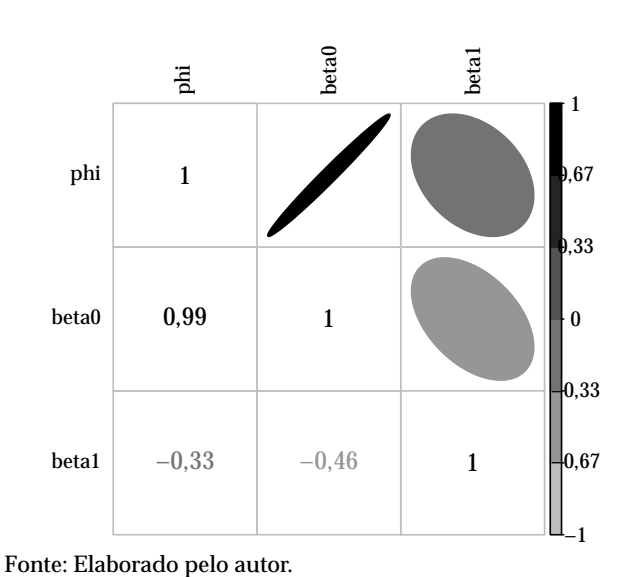


Figura 22 – Imagem da matriz de correlação entre os parâmetros do modelo COM-Poisson

Lorem ipsum dolor sit amet, consectetuer adipiscing elit. Ut purus elit, vestibulum ut, placerat ac, adipiscing vitae, felis. Curabitur dictum gravida mauris. Nam arcu libero, nonummy eget, consectetuer id, vulputate a, magna. Donec vehicula augue eu neque. Pellentesque habitant morbi tristique senectus et netus et malesuada fames ac turpis egestas. Mauris ut leo. Cras viverra metus rhoncus sem. Nulla et lectus vestibulum urna fringilla ultrices. Phasellus eu tellus sit amet tortor gravida placerat. Integer sapien est, iaculis in, pretium quis, viverra ac, nunc. Praesent eget sem vel leo ultrices bibendum. Aenean faucibus. Morbi dolor nulla, malesuada eu, pulvinar at, mollis ac, nulla. Curabitur auctor semper nulla. Donec va-

rius orci eget risus. Duis nibh mi, congue eu, accumsan eleifend, sagittis quis, diam. Duis eget orci sit amet orci dignissim rutrum.

Lorem ipsum dolor sit amet, consectetuer adipiscing elit. Ut purus elit, vestibulum ut, placerat ac, adipiscing vitae, felis. Curabitur dictum gravida mauris. Nam arcu

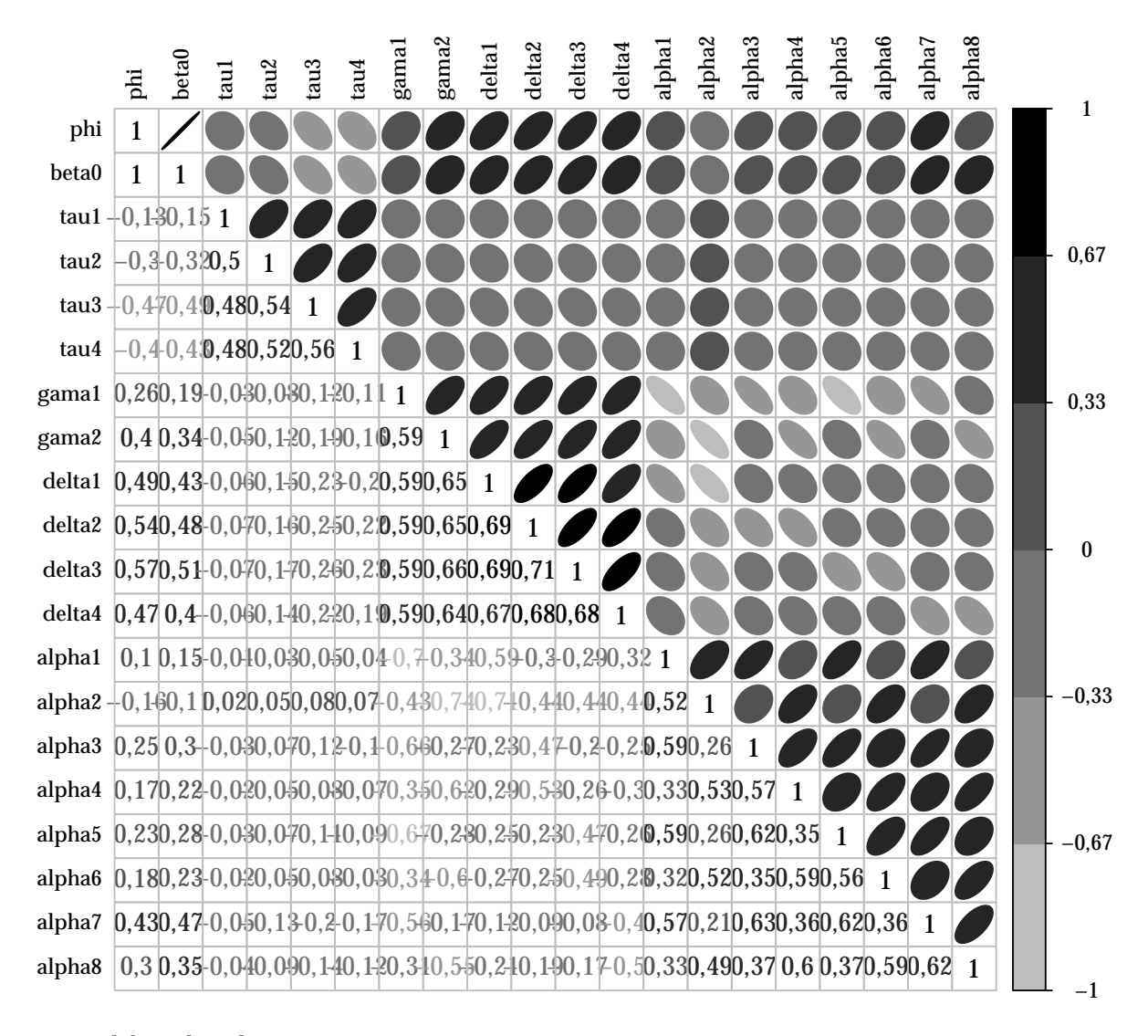


Figura 25 – Imagem da matriz de correlação entre os parâmetros do modelo COM-Poisson ajustados ao número de vagens por parcela.

libero, nonummy eget, consectetuer id, vulputate a, magna. Donec vehicula augue eu neque. Pellentesque habitant morbi tristique senectus et netus et malesuada fames ac turpis egestas. Mauris ut leo. Cras viverra metus rhoncus sem. Nulla et lectus vestibulum urna fringilla ultrices. Phasellus eu tellus sit amet tortor gravida placerat. Integer sapien est, iaculis in, pretium quis, viverra ac, nunc. Praesent eget sem vel leo ultrices bibendum. Aenean faucibus. Morbi dolor nulla, malesuada eu, pulvinar at, mollis ac, nulla. Curabitur auctor semper nulla. Donec varius orci eget risus. Duis nibh mi, congue eu, accumsan eleifend, sagittis quis, diam. Duis eget orci sit amet orci dignissim rutrum.

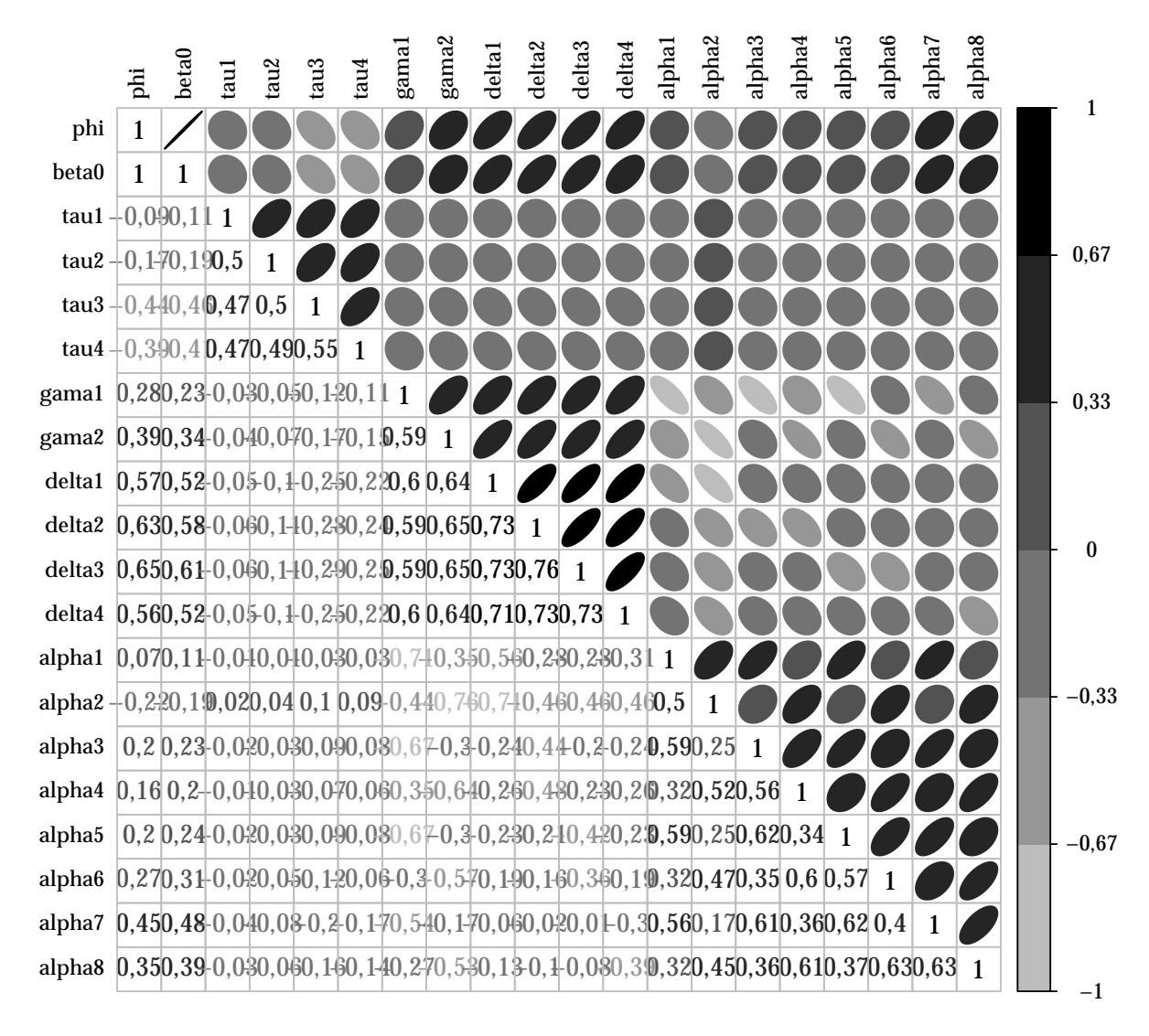


Figura 26 – Imagem da matriz de correlação entre os parâmetros do modelo COM-Poisson ajustados ao número de grãos por parcela.

4.4 Análise de ninfas de mosca-branca em lavoura de soja

Lorem ipsum dolor sit amet, consectetuer adipiscing elit. Ut purus elit, vestibulum ut, placerat ac, adipiscing vitae, felis. Curabitur dictum gravida mauris. Nam arcu libero, nonummy eget, consectetuer id, vulputate a, magna. Donec vehicula augue eu neque. Pellentesque habitant morbi tristique senectus et netus et malesuada fames ac turpis egestas. Mauris ut leo. Cras viverra metus rhoncus sem. Nulla et lectus vestibulum urna fringilla ultrices. Phasellus eu tellus sit amet tortor gravida placerat. Integer sapien est, iaculis in, pretium quis, viverra ac, nunc. Praesent eget sem vel leo ultrices bibendum. Aenean faucibus. Morbi dolor nulla, malesuada eu, pulvinar at, mollis ac, nulla. Curabitur auctor semper nulla. Donec varius orci eget risus. Duis nibh mi, congue

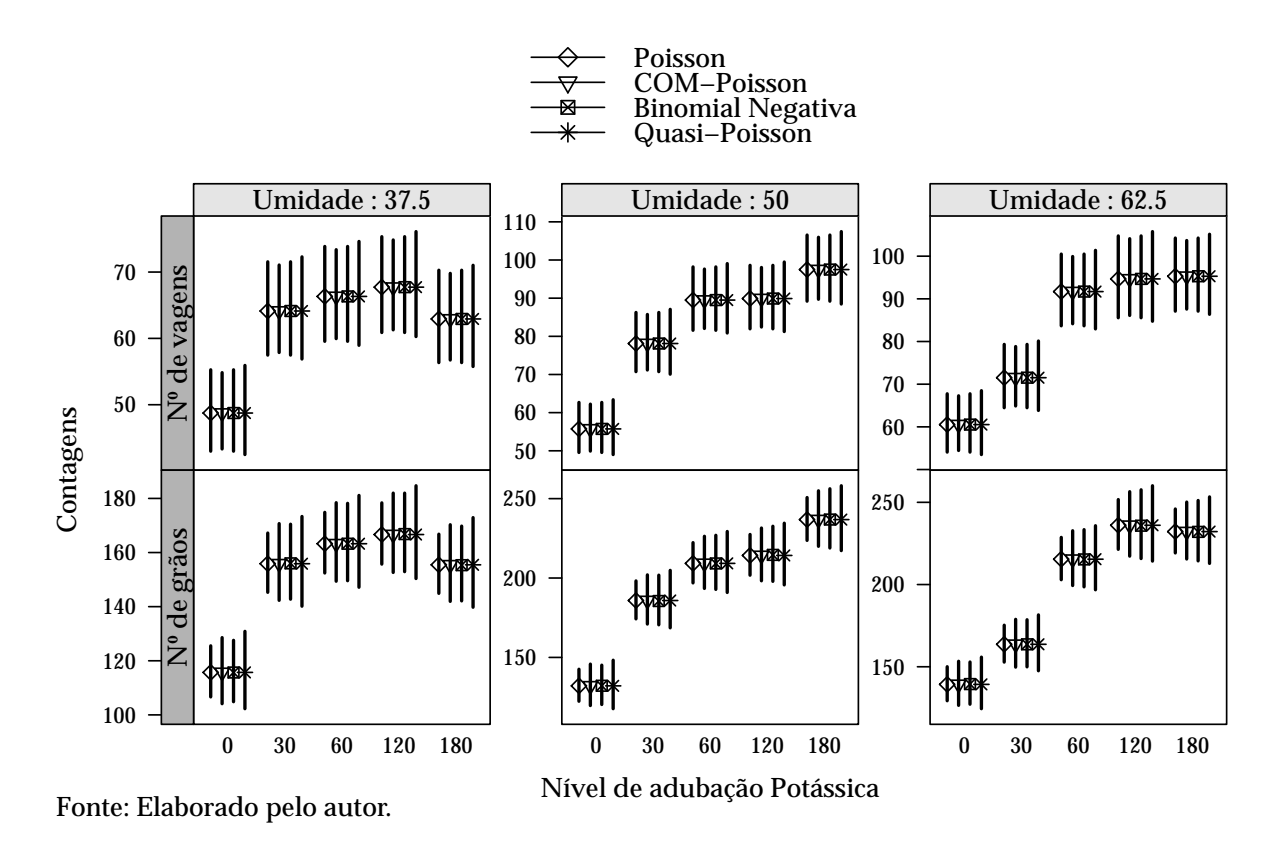


Figura 27 – Valores preditos com intervalos de confiança (95%) como função do nível de adubação com potássio e do percentual de umidade do solo para cada variável de interesse mensurada (número de vagens e número de grãos por parcela).

eu, accumsan eleifend, sagittis quis, diam. Duis eget orci sit amet orci dignissim rutrum.

Lorem ipsum dolor sit amet, consectetuer adipiscing elit. Ut purus elit, vestibulum ut, placerat ac, adipiscing vitae, felis. Curabitur dictum gravida mauris. Nam arcu libero, nonummy eget, consectetuer id, vulputate a, magna. Donec vehicula augue eu neque. Pellentesque habitant morbi tristique senectus et netus et malesuada fames ac turpis egestas. Mauris ut leo. Cras viverra metus rhoncus sem. Nulla et lectus vestibulum urna fringilla ultrices. Phasellus eu tellus sit amet tortor gravida placerat. Integer sapien est, iaculis in, pretium quis, viverra ac, nunc. Praesent eget sem vel leo ultrices bibendum. Aenean faucibus. Morbi dolor nulla, malesuada eu, pulvinar at, mollis ac, nulla. Curabitur auctor semper nulla. Donec varius orci eget risus. Duis nibh mi, congue eu, accumsan eleifend, sagittis quis, diam. Duis eget orci sit amet orci dignissim rutrum.

Lorem ipsum dolor sit amet, consectetuer adipiscing elit. Ut purus elit, vestibulum ut, placerat ac, adipiscing vitae, felis. Curabitur dictum gravida mauris. Nam arcu libero, nonummy eget, consectetuer id, vulputate a, magna. Donec vehicula augue eu neque. Pellentesque habitant morbi tristique senectus et netus et malesuada fames ac turpis egestas. Mauris ut leo. Cras viverra metus rhoncus sem. Nulla et lectus vestibu-

Tabela 6 – Medidas de ajuste para	avaliação e comparação entre preditores e modelos
ajustados	

Poisson	np	ℓ	AIC	$2(\text{diff }\ell)$	diff np	$P(>\chi^2)$		
Preditor 1	12	-922,98	1869,96					
Preditor 2	27	-879,23	1812,46	87,50	15	2,90E-12		
COM-Poisson	np	ℓ	AIC	$2(\text{diff }\ell)$	diff np	$P(>\chi^2)$	$\hat{\phi}$	$P(>\chi^2)$
Preditor 1	13	-410,44	846,89				-3,08	6,39E-225
Preditor 2	28	-407,15	870,30	6,59	15	9,68E-01	-2,95	2,47E-207
Binomial Neg.	np	ℓ	AIC	$2(\text{diff }\ell)$	diff np	$P(>\chi^2)$	$\hat{ heta}$	$P(> F^2)$
Preditor 1	13	-406,16	838,31				3,44	
Preditor 2	28	-400,55	857,10	11,21	15	7,38E-01	3,99	
Quase-Poisson	np	deviance	AIC	F	diff np	P(>F)	$\hat{\sigma}^2$	P(> F)
Preditor 1	12	1371,32					17,03	
Preditor 2	27	1283,82		0,31	15	9,93E-01	19,03	

np, número de parâmetros, diff ℓ , diferença entre log-verossimilhanças, F, estatística F baseada nas quasi-deviances, diff np, diferença entre o np.

Fonte: Elaborado pelo autor.

lum urna fringilla ultrices. Phasellus eu tellus sit amet tortor gravida placerat. Integer sapien est, iaculis in, pretium quis, viverra ac, nunc. Praesent eget sem vel leo ultrices bibendum. Aenean faucibus. Morbi dolor nulla, malesuada eu, pulvinar at, mollis ac, nulla. Curabitur auctor semper nulla. Donec varius orci eget risus. Duis nibh mi, congue eu, accumsan eleifend, sagittis quis, diam. Duis eget orci sit amet orci dignissim rutrum.

Lorem ipsum dolor sit amet, consectetuer adipiscing elit. Ut purus elit, vestibulum ut, placerat ac, adipiscing vitae, felis. Curabitur dictum gravida mauris. Nam arcu libero, nonummy eget, consectetuer id, vulputate a, magna. Donec vehicula augue eu neque. Pellentesque habitant morbi tristique senectus et netus et malesuada fames ac turpis egestas. Mauris ut leo. Cras viverra metus rhoncus sem. Nulla et lectus vestibulum urna fringilla ultrices. Phasellus eu tellus sit amet tortor gravida placerat. Integer sapien est, iaculis in, pretium quis, viverra ac, nunc. Praesent eget sem vel leo ultrices bibendum. Aenean faucibus. Morbi dolor nulla, malesuada eu, pulvinar at, mollis ac, nulla. Curabitur auctor semper nulla. Donec varius orci eget risus. Duis nibh mi, congue eu, accumsan eleifend, sagittis quis, diam. Duis eget orci sit amet orci dignissim rutrum.

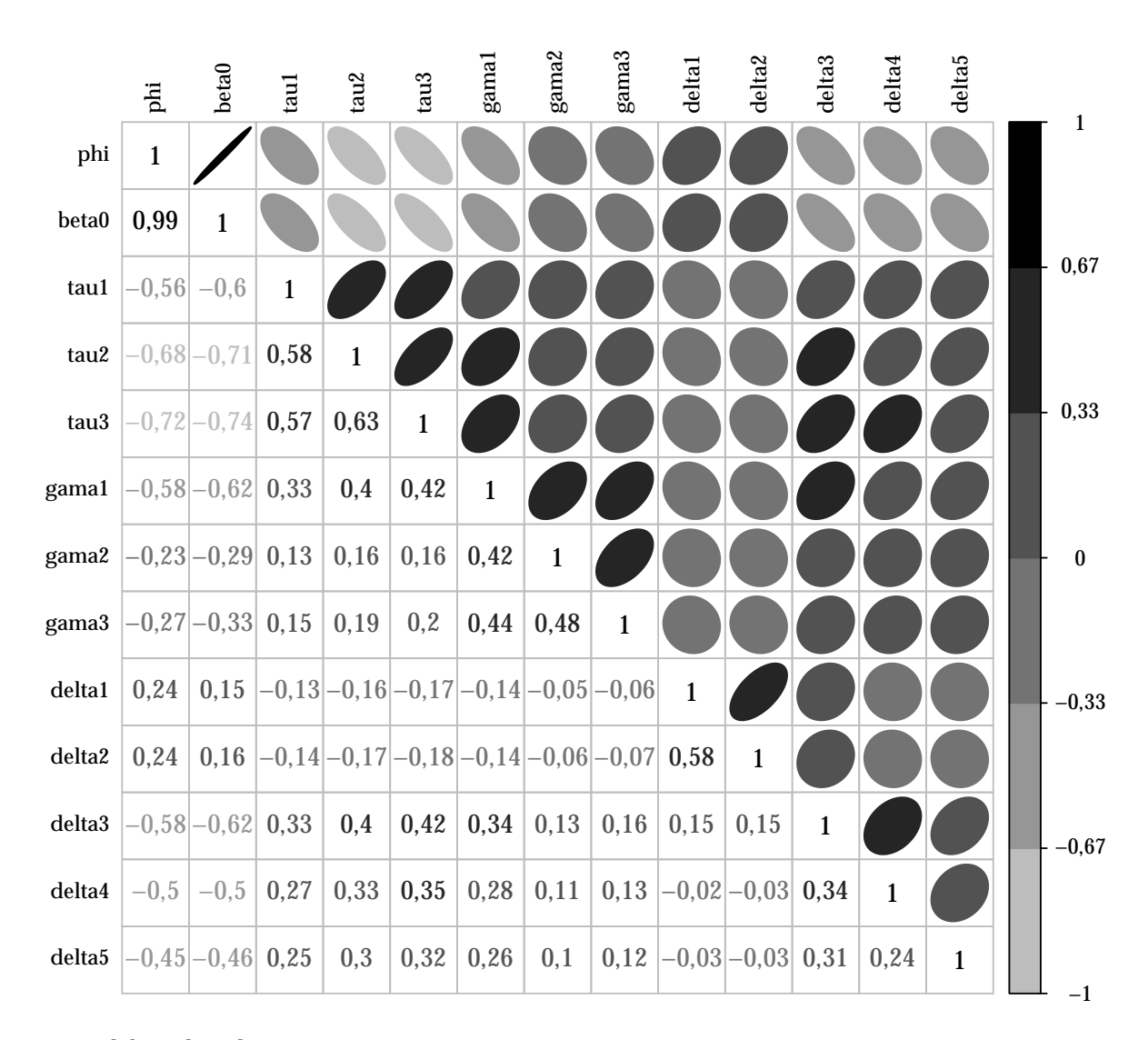
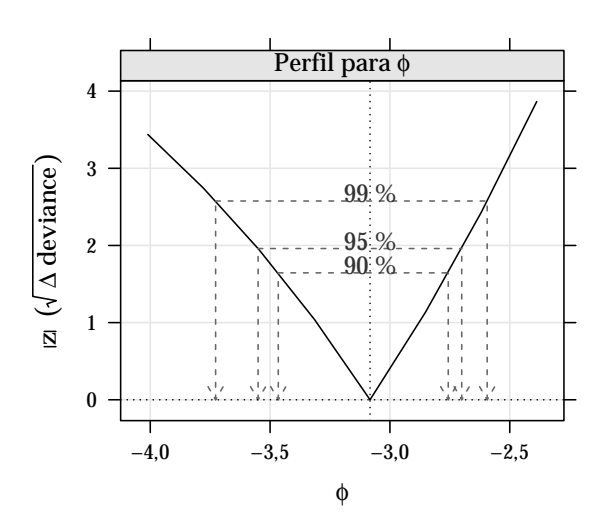


Figura 29 – Imagem da matriz de correlação entre os parâmetros do modelo COM-Poisson



Fonte: Elaborado pelo autor.

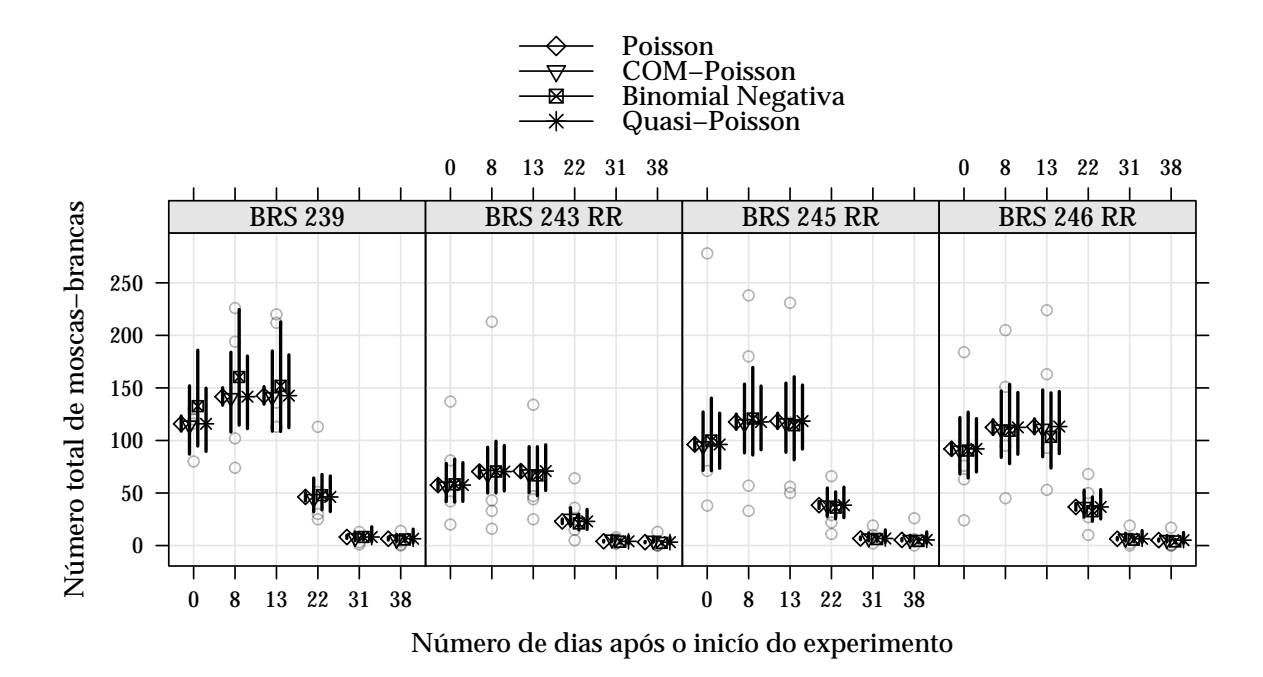


Figura 30 – Valores preditos com intervalos de confiança (95%) em função das cultivares de soja e da data de avaliação da planta.

5 Considerações Finais

Lorem ipsum dolor sit amet, consectetuer adipiscing elit. Ut purus elit, vestibulum ut, placerat ac, adipiscing vitae, felis. Curabitur dictum gravida mauris. Nam arcu libero, nonummy eget, consectetuer id, vulputate a, magna. Donec vehicula augue eu neque. Pellentesque habitant morbi tristique senectus et netus et malesuada fames ac turpis egestas. Mauris ut leo. Cras viverra metus rhoncus sem. Nulla et lectus vestibulum urna fringilla ultrices. Phasellus eu tellus sit amet tortor gravida placerat. Integer sapien est, iaculis in, pretium quis, viverra ac, nunc. Praesent eget sem vel leo ultrices bibendum. Aenean faucibus. Morbi dolor nulla, malesuada eu, pulvinar at, mollis ac, nulla. Curabitur auctor semper nulla. Donec varius orci eget risus. Duis nibh mi, congue eu, accumsan eleifend, sagittis quis, diam. Duis eget orci sit amet orci dignissim rutrum.

Nam dui ligula, fringilla a, euismod sodales, sollicitudin vel, wisi. Morbi auctor lorem non justo. Nam lacus libero, pretium at, lobortis vitae, ultricies et, tellus. Donec aliquet, tortor sed accumsan bibendum, erat ligula aliquet magna, vitae ornare odio metus a mi. Morbi ac orci et nisl hendrerit mollis. Suspendisse ut massa. Cras nec ante. Pellentesque a nulla. Cum sociis natoque penatibus et magnis dis parturient montes, nascetur ridiculus mus. Aliquam tincidunt urna. Nulla ullamcorper vestibulum turpis. Pellentesque cursus luctus mauris.

Nulla malesuada porttitor diam. Donec felis erat, congue non, volutpat at, tincidunt tristique, libero. Vivamus viverra fermentum felis. Donec nonummy pellentesque ante. Phasellus adipiscing semper elit. Proin fermentum massa ac quam. Sed diam turpis, molestie vitae, placerat a, molestie nec, leo. Maecenas lacinia. Nam ipsum ligula, eleifend at, accumsan nec, suscipit a, ipsum. Morbi blandit ligula feugiat magna. Nunc eleifend consequat lorem. Sed lacinia nulla vitae enim. Pellentesque tincidunt purus vel magna. Integer non enim. Praesent euismod nunc eu purus. Donec bibendum quam in tellus. Nullam cursus pulvinar lectus. Donec et mi. Nam vulputate metus eu enim. Vestibulum pellentesque felis eu massa.



APÊNDICE A – Lipsum

Nulla ac nisl. Nullam urna nulla, ullamcorper in, interdum sit amet, gravida ut, risus. Aenean ac enim. In luctus. Phasellus eu quam vitae turpis viverra pellentesque. Duis feugiat felis ut enim. Phasellus pharetra, sem id porttitor sodales, magna nunc aliquet nibh, nec blandit nisl mauris at pede. Suspendisse risus risus, lobortis eget, semper at, imperdiet sit amet, quam. Quisque scelerisque dapibus nibh. Nam enim. Lorem ipsum dolor sit amet, consectetuer adipiscing elit. Nunc ut metus. Ut metus justo, auctor at, ultrices eu, sagittis ut, purus. Aliquam aliquam.



ANEXO A - Lipsum

Sed mattis, erat sit amet gravida malesuada, elit augue egestas diam, tempus scelerisque nunc nisl vitae libero. Sed consequat feugiat massa. Nunc porta, eros in eleifend varius, erat leo rutrum dui, non convallis lectus orci ut nibh. Sed lorem massa, nonummy quis, egestas id, condimentum at, nisl. Maecenas at nibh. Aliquam et augue at nunc pellentesque ullamcorper. Duis nisl nibh, laoreet suscipit, convallis ut, rutrum id, enim. Phasellus odio. Nulla nulla elit, molestie non, scelerisque at, vestibulum eu, nulla. Ut odio nisl, facilisis id, mollis et, scelerisque nec, enim. Aenean sem leo, pellentesque sit amet, scelerisque sit amet, vehicula pellentesque, sapien.